

Міністерство освіти і науки України

Відокремлений структурний підрозділ «Тернопільський фаховий коледж
Тернопільського національного технічного університету імені Івана Пулюя»

(повне найменування вищого навчального закладу)

Відділення інформаційних технологій, менеджменту, туризму
та підготовки іноземних громадян

(назва відділення)

Циклова комісія комп'ютерної інженерії

(повна назва циклової комісії)

ПОЯСНЮВАЛЬНА ЗАПИСКА

до кваліфікаційної роботи

фахового молодшого бакалавра

(освітньо-професійного ступеня)

на тему: **Розробка мікропроцесорної системи автоматизованого керування
розумної теплиці**

Виконав: студент IV курсу, групи KI-412

Спеціальності 123 Комп'ютерна інженерія

(шифр і назва спеціальності)

Богдан РЕНЧКА

(ім'я та прізвище)

Керівник

Андрій НЕДОШИТКО

(ім'я та прізвище)

Рецензент

(ім'я та прізвище)

**ВІДОКРЕМЛЕНИЙ СТРУКТУРНИЙ ПІДРОЗДІЛ
«ТЕРНОПІЛЬСЬКИЙ ФАХОВИЙ КОЛЕДЖ
ТЕРНОПІЛЬСЬКОГО НАЦІОНАЛЬНОГО ТЕХНІЧНОГО УНІВЕРСИТЕТУ
імені ІВАНА ПУЛЮЯ»**

Відділення **інформаційних технологій, менеджменту, туризму
та підготовки іноземних громадян**

Циклова комісія **комп'ютерної інженерії**

Освітньо-професійний ступінь **фаховий молодший бакалавр**

Освітньо-професійна програма: **Мікропроцесорні системи**

Спеціальність: **123 Комп'ютерна інженерія**

Галузь знань: **12 Інформаційні технології**

ЗАТВЕРДЖУЮ

Голова циклової комісії
комп'ютерної інженерії

_____ Андрій ЮЗЬКІВ

“30” березня 2026 року

**З А В Д А Н Н Я
НА КВАЛІФІКАЦІЙНУ РОБОТУ СТУДЕНТУ**

Ренчкові Богдану Андрійовичу

(прізвище, ім'я, по батькові)

Тема кваліфікаційної роботи: **Розробка мікропроцесорної системи
автоматизованого керування розумної теплиці**

керівник роботи **Недошитко Андрій Григорович**

(прізвище, ім'я, по батькові)

затверджені наказом Відокремленого структурного підрозділу «Тернопільський фаховий коледж Тернопільського національного технічного університету імені Івана Пулюя» від 27.03.2026р № 4/9-167.

2. Строк подання студентом роботи: **15 червня 2026 року**.

3. Вихідні дані до роботи: технічне завдання; параметри теплиці (20–200 м²) та контрольовані параметри мікроклімату; datasheets елементної бази (ESP32-WROOM-32, DHT22, датчики вологості ґрунту й освітленості, RTC, реле, кроковий двигун із драйвером); стандарти ЄСКД (ДСТУ ГОСТ 2.701:2008, 2.702, 2.710); стандарт Wi-Fi IEEE 802.11 b/g/n.

4. Зміст розрахунково-пояснювальної записки: Загальний розділ. Розробка технічного та робочого проекту. Спеціальний розділ. Економічна частина. Охорона праці, техніка безпеки та екологічні вимоги.

5. Перелік графічного матеріалу (з точним зазначенням обов'язкових креслень)

- Структурна схема;
- Функціональна схема;
- Блок схема алгоритму;
- перелік елементів
- таблиця техніко-економічних показників.

6. Консультанти розділів роботи

| Розділ | Ім'я, прізвище та посада консультанта | Підпис, дата | |
|--|---------------------------------------|----------------|------------------|
| | | завдання видав | завдання прийняв |
| Економічний розділ | Богдана МАРТИНЮК викладач | | |
| Охорона праці та безпека життєдіяльності | Володимир ШТОКАЛО викладач | | |

КАЛЕНДАРНИЙ ПЛАН

| № з/п | Назва етапів кваліфікаційної роботи | Строк виконання етапів роботи | Примітка |
|-------|---|-------------------------------|----------|
| 1 | Отримання і аналіз технічного завдання | 31.03 | |
| 2 | Збір і узагальнення інформації | 08.05 | |
| 3 | Написання першого розділу | 15.05 | |
| 4 | Розробка технічного та робочого проекту | 22.05 | |
| 5 | Написання спеціального розділу | 28.05 | |
| 6 | Розрахунок економічної частини | 1.06 | |
| 7 | Написання розділу охорони праці | 3.06 | |
| 8 | Виконання графічної частини | 8.06 | |
| 9 | Оформлення проєкту | 10.06 | |
| 10 | Погодження нормоконтролю | 11.06 | |
| 11 | Попередній захист роботи | 12.06 | |
| 12 | Захист кваліфікаційної роботи | | |

7. Дата видачі завдання: 31 березня 2026 року

Студент

_____ (підпис)

Богдан РЕНЧКА

(ім'я та прізвище)

Керівник роботи

_____ (підпис)

Андрій НЕДОШИТКО

(ім'я та прізвище)

АНОТАЦІЯ

Ренчка Б.А. Розробка мікропроцесорної системи автоматизованого керування розумною теплицею: кваліфікаційна робота на здобуття освітньо-професійного ступеня фахового молодшого бакалавра, за спеціальністю 123 Комп'ютерна інженерія. Тернопіль: ВСП «ТФК ТНТУ», 2026. – 88 с.

Метою роботи є розробка мікропроцесорної системи автоматизованого керування розумною теплицею, здатної підтримувати оптимальний мікроклімат і параметри поливу без постійної участі людини. Проаналізовано технічне завдання й існуючі рішення, обґрунтовано вибір елементної бази на основі мікроконтролера ESP32 та датчиків температури, вологості повітря й ґрунту, освітленості та годинника реального часу. Розроблено структурну, і функціональну схеми, виконано розрахунки споживаної потужності та надійності. Реалізовано алгоритм автоматичного зонального поливу, керування провітрюванням і фітоосвітленням та передачу даних на сервер за технологією Wi-Fi. Розроблено інструкцію з експлуатації й методику перевірки пристрою, наведено економічне обґрунтування та заходи з охорони праці й техніки безпеки.

Кваліфікаційна робота містить графічну частину на 4 аркушах формату А1 та пояснювальну записку обсягом 88 аркушів, що містить 9 таблиць і 28 рисунків.

Ключові слова: мікроконтролер, ESP32, розумна теплиця, автоматизоване керування, датчики, мікроклімат, вологість ґрунту, Wi-Fi, економічні показники, охорона праці, техніка безпеки.

ANNOTATION

Renchka B.A. Development of a Microprocessor-Based Automated Control System for a Smart Greenhouse: qualification work for the attainment of the professional junior bachelor's degree in specialty 123 Computer Engineering. Ternopil: SEI "TCPC of TNTU", 2026. – 88 p.

The objective of this work is to develop a microprocessor-based automated control system for a smart greenhouse capable of maintaining an optimal microclimate and irrigation parameters without constant human involvement. The technical specification and existing solutions were analysed, and the component base was justified around the ESP32 microcontroller and sensors of air temperature, air and soil humidity, illumination, and a real-time clock. The structural, functional, and schematic diagrams were developed, and power consumption and reliability calculations were performed. An algorithm for automated zonal irrigation, ventilation control, and grow-light management was implemented, along with data transmission to a server via Wi-Fi. Operation instructions and a device-testing methodology were developed, and an economic justification together with occupational safety measures is provided.

The qualification work includes a graphical section on four A1 sheets and an explanatory note of 88 pages, containing 9 tables and 28 figures.

Keywords: microcontroller, ESP32, smart greenhouse, automated control, sensors, microclimate, soil moisture, Wi-Fi, economic indicators, occupational safety, safety engineering.

ЗМІСТ

| | |
|---|----|
| ВСТУП | 7 |
| 1 ЗАГАЛЬНА ЧАСТИНА | 9 |
| 1.1 Обґрунтування актуальності теми кваліфікаційної роботи | 9 |
| 1.2 Аналітичний огляд існуючих рішень | 10 |
| 2 РОЗРОБКА ТЕХНІЧНОГО ТА РОБОЧОГО ПРОЕКТУ | 13 |
| 2.1 Аналіз технічного завдання | 13 |
| 2.2 Розробка структурної схеми пристрою | 15 |
| 2.3 Опис і обґрунтування вибору елементної бази | 19 |
| 2.4 Розрахунок споживаної потужності | 34 |
| 2.5 Розрахунок надійності | 36 |
| 2.6 Розробка функціональної схеми пристрою | 38 |
| 2.7 Розробка алгоритму системи | 40 |
| 2.8 Написання текстів програми | 44 |
| 3 СПЕЦІАЛЬНИЙ РОЗДІЛ | 50 |
| 3.1 Розробка інструкції з експлуатації електронного пристрою | 50 |
| 3.2 Розробка методики перевірки функціонування пристрою | 53 |
| 4 ЕКОНОМІЧНА ЧАСТИНА | 54 |
| 4.1 Визначення стадій технологічного процесу та загальної тривалості проведення НДР | 54 |
| 4.2 Визначення витрат на оплату праці та відрахувань на соціальні заходи . | 55 |
| 4.3 Розрахунок матеріальних витрат | 57 |
| 4.4 Розрахунок витрат на електроенергію | 57 |
| 4.5 Визначення транспортних затрат | 58 |
| 4.6 Розрахунок суми амортизаційних відрахувань | 59 |

| | | | | | | | | |
|-----------|-------------|----------|--------|------|--|-------------------------------------|-------|---------|
| | | | | | 2026.КВР.123.412.10.00.00 ПЗ | | | |
| Зм. | Арк. | № докум. | Підпис | Дата | | | | |
| Розроб. | Б.РЕНЧКА | | | | Розробка мікроконтролерної системи автоматизованого керування мікрокліматом розумної теплиці Пояснювальна Записка | Лім. | Аркуш | Аркушів |
| Перевір. | А.НЕДОШИТКО | | | | | | 5 | 88 |
| Н. контр. | А.ЮЗЬКІВ | | | | | ВСП ТФК ТНТУ КІ-412 м. Тернопіль | | |
| Затв. | | | | | | | | |

| | |
|--|----|
| 4.7 Обчислення накладних витрат | 59 |
| 4.8 Складання кошторису витрат та визначення собівартості НДР | 60 |
| 4.9 Розрахунок ціни НДР | 61 |
| 4.10 Визначення економічної ефективності і терміну окупності | 61 |
| 5 ОХОРОНА ПРАЦІ, ТЕХНІКА БЕЗПЕКИ ТА ЖИТТЄДІЯЛЬНОСТІ | 63 |
| 5.1 Електробезпека та захист від статичної електрики мікропроцесорних систем в умовах підвищеної вологості | 63 |
| 5.2 Оцінка впливу електромагнітних випромінювань радіочастот від бездротових модулів передачі даних | 68 |
| 5.3 Вимоги безпеки праці під час монтажу комп'ютерної техніки в сільськогосподарських приміщеннях | 69 |
| ВИСНОВКИ | 72 |
| ПЕРЕЛІК ПОСИЛАНЬ | 74 |
| ДОДАТОК А | |

| | | | | | | |
|-----|------|----------|--------|------|-------------------------------------|------|
| | | | | | 2026.КВР.123.412.10.00.00 ПЗ | Арк. |
| Зм. | Арк. | № докум. | Підпис | Дата | | 6 |

ВСТУП

Сучасне сільське господарство стикається із серйозними викликами: змінами клімату, зростанням попиту на продовольство та необхідністю підвищення ефективності виробництва за умов обмежених ресурсів. Теплиці є важливим інструментом для вирощування рослин незалежно від погодних умов, однак традиційні підходи до їх експлуатації вимагають постійної присутності людини, що є економічно не вигідним і знижує продуктивність. Актуальність даної кваліфікаційної роботи обумовлена необхідністю автоматизації управління кліматичними параметрами теплиці з метою забезпечення оптимальних умов для вирощування рослин, зниження собівартості продукції та мінімізації людського фактору. Автоматизована система здатна цілодобово контролювати температуру повітря, вологість ґрунту, освітленість та інші показники, реагуючи на їх відхилення від заданих норм без безпосередньої участі оператора.

Дана кваліфікаційна робота є частиною комплексної розробки, що складається з трьох взаємопов'язаних частин: апаратної — розробка мікропроцесорного пристрою керування теплицею (дана робота); серверної — проєктування бази даних та серверного застосунку для збереження й синхронізації даних; клієнтської — розробка інтерфейсу користувача для дистанційного моніторингу та керування. У межах даної роботи розробляється апаратна частина системи та вбудоване програмне забезпечення мікроконтролера, тоді як серверна та клієнтська частини детально розглядаються у відповідних кваліфікаційних роботах співавторів.

Метою даної кваліфікаційної роботи є розробка мікропроцесорної системи автоматизованого керування розумною теплицею. Ідея роботи полягає у створенні бюджетного пристрою, який самостійно збирає дані про стан мікроклімату теплиці, автоматично керує поливом, вентиляцією та освітленням за заданими алгоритмами, а також передає інформацію на веб-сервер для дистанційного моніторингу та керування. План дослідження включає аналіз

| | | | | | | |
|-----|------|----------|--------|------|------------------------------|------|
| | | | | | 2026.КВР.123.412.10.00.00 ПЗ | Арк. |
| Зм. | Арк. | № докум. | Підпис | Дата | | 7 |

технічних вимог до системи, огляд існуючих рішень для автоматизації теплиць, вибір та обґрунтування елементної бази, розробку структурної, функціональної та функціональної схем, написання вбудованого програмного забезпечення мікроконтролера та моделювання роботи системи у симуляційному середовищі.

Об'єктом дослідження є процеси автоматизованого управління кліматичними параметрами закритого ґрунту (теплиці). Предметом дослідження є апаратно-програмні засоби збору, обробки та передачі даних мікропроцесорної системи керування. Результатом роботи є змодельований прототип системи керування розумною теплицею, що здійснює моніторинг параметрів мікроклімату, автоматичне керування виконавчими пристроями та обмін даними з веб-сервером.

Практична цінність розробки полягає у поєднанні технологій Internet of Things (IoT) з вирішенням реальної агрономічної задачі. Система дозволяє зменшити витрати води завдяки точному поливу за показниками вологості ґрунту в кількох незалежних зонах, підтримувати оптимальний мікроклімат та забезпечити власника теплиці повною інформацією про стан об'єкта в режимі реального часу.

| | | | | | | |
|-----|------|----------|--------|------|------------------------------|------|
| | | | | | 2026.КВР.123.412.10.00.00 ПЗ | Арк. |
| Зм. | Арк. | № докум. | Підпис | Дата | | 8 |

1 ЗАГАЛЬНИЙ РОЗДІЛ

1.1 Обґрунтування актуальності теми кваліфікаційної роботи

Метою даної кваліфікаційної роботи є розробка бюджетної, надійної та масштабованої системи автоматизованого керування теплицею, яка:

- самостійно підтримує задані параметри мікроклімату (температура та вологість повітря, вологість ґрунту в кількох незалежних зонах, освітленість);
- автоматично керує поливом кожної зони окремо за показниками датчиків вологості ґрунту;
- автоматично вмикає додаткове освітлення при недостатньому рівні природного світла та вентиляцію при перевищенні порогових значень температури або вологості;
- передає всі дані на власний веб-сервер з базою даних та відображає їх у веб-інтерфейсі в режимі реального часу;
- сповіщає власника у разі критичних відхилень параметрів мікроклімату;
- надає можливість ручного дистанційного керування виконавчими пристроями через веб-інтерфейс.

Практична новизна роботи полягає у побудові системи навколо єдиного центру збору, обробки та передачі даних — сучасного мікроконтролера з вбудованим модулем бездротового зв'язку. Такий підхід дозволяє підключити повний комплекс датчиків і виконавчих пристроїв без додаткових модулів зв'язку, що суттєво спрощує схему, знижує вартість і підвищує надійність системи порівняно з типовими аматорськими рішеннями, у яких контролер і модуль зв'язку реалізовані окремими платами. Передача даних на власний веб-сервер забезпечує незалежність системи від сторонніх хмарних сервісів.

Таким чином, актуальність роботи визначається як технічними тенденціями розвитку IoT-систем у сільськогосподарському секторі, так і реальною

| | | | | | | |
|-----|------|----------|--------|------|------------------------------|------|
| | | | | | 2026.КВР.123.412.10.00.00 ПЗ | Арк. |
| Зм. | Арк. | № докум. | Підпис | Дата | | 9 |

потребою виробників у доступних, надійних та ефективних засобах автоматизації теплиць із можливістю дистанційного моніторингу.

1.2 Аналітичний огляд існуючих рішень

Перш ніж розпочати розробку, проведемо аналіз наявних підходів до автоматизації теплиць. Умовно їх можна поділити на чотири категорії.

Ручне управління (традиційні теплиці) (див. рис.1.1)

Найпоширеніший варіант у малому фермерстві. Господар щодня вимірює температуру звичайним термометром, поливає вручну зі шланга або лійки, відчиняє вікна для провітрювання. Переваги: нульові початкові витрати на автоматику. Недоліки: висока трудомісткість (2–4 год щодня), ризик пропустити критичний момент (перегрів, посуха), неможливість відлучитися на тривалий час, відсутність статистики.

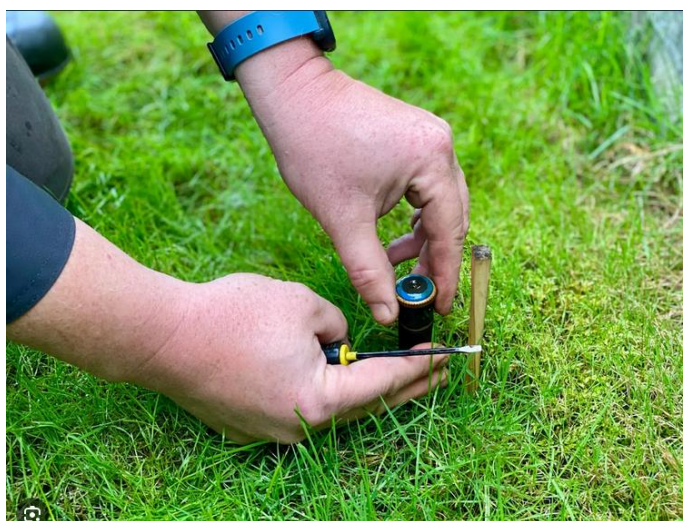


Рисунок 1.1- Зображення ручного управління в теплиці

Таймерне управління (базова автоматизація)

Більш просунуті теплиці використовують таймери для регулярного вмикання поливу та термостати для керування нагрівачем або вентилятором. Обладнання: таймер розетки (100–300 грн), простий термостат W1209 (150–250

| | | | | | | |
|-----|------|----------|--------|------|------------------------------|------|
| | | | | | 2026.КВР.123.412.10.00.00 ПЗ | Арк. |
| Зм. | Арк. | № докум. | Підпис | Дата | | 10 |

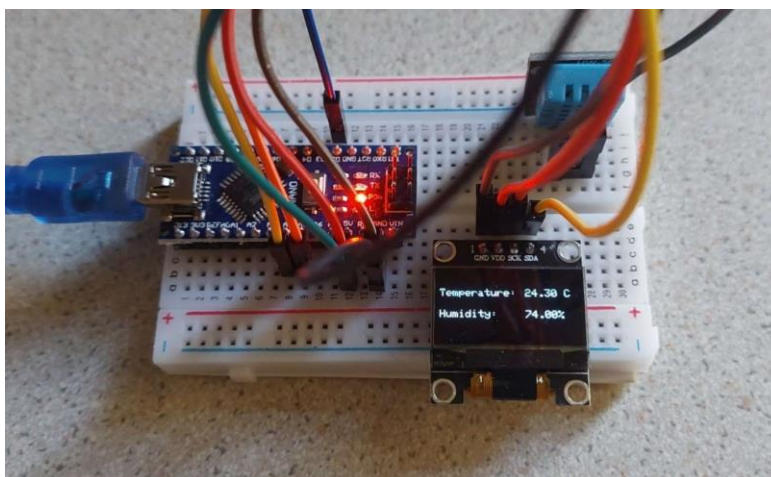
грн). Переваги: дешево, надійно у нескладних умовах. Недоліки: жорстко запрограмовані інтервали не враховують реальний стан ґрунту або погоду, немає дистанційного контролю, немає реакції на аварійні ситуації.

Комерційні системи промислового класу

Компанії Priva, Ridder, LetsGrow пропонують повнофункціональні SCADA-системи для великих тепличних комплексів. Вони охоплюють управління кліматом, поливом, освітленням, підживленням. Переваги: висока точність, надійність, підтримка виробника. Недоліки: вартість базової конфігурації — від 5 000 до 50 000 USD, що є недоступним для малих і середніх теплиць, складне налаштування вимагає спеціалістів.

DIY-рішення на базі Arduino, показана на рисунку 1.2

Активна спільнота розробників пропонує проекти автоматизації теплиць на базі Arduino Uno/Mega. Зазвичай такі проекти включають датчик DHT11, релейний модуль та LCD-дисплей. Переваги: доступність компонентів, велика кількість готових прикладів. Недоліки: Arduino не має вбудованого Wi-Fi, потребує додаткового модуля ESP8266, ускладнюючи схему; обмежена обчислювальна потужність; відсутність хмарної інтеграції у більшості простих проектів.



Рисинок 1.2 - DIY-система на базі Arduino Uno з датчиком DHT11

| | | | | | | |
|-----|------|----------|--------|------|------------------------------|------|
| | | | | | 2026.KBP.123.412.10.00.00 ПЗ | Арк. |
| Зм. | Арк. | № докум. | Підпис | Дата | | 11 |

На основі проведеного аналізу можна зробити висновок, що оптимальним рішенням для малих і середніх теплиць є розробка власної IoT-системи на базі сучасного мікроконтролера з вбудованим модулем бездротового зв'язку. Така система поєднує доступну вартість, повноцінний дистанційний моніторинг, реакцію на реальний стан ґрунту та клімату і легкість масштабування без прив'язки до дорогого комерційного програмного забезпечення. Обґрунтування вибору конкретної елементної бази наведено у другому розділі роботи.

Відповідно до схеми Е1 кваліфікаційної роботи, система включає центральний мікроконтролер, блок датчиків, блок виконавчих пристроїв та блок відображення і зв'язку. Структурна схема наочно демонструє взаємозв'язки між усіма компонентами системи та потоки даних між ними

| | | | | | | |
|-----|------|----------|--------|------|------------------------------|------|
| | | | | | 2026.КВР.123.412.10.00.00 ПЗ | Арк. |
| Зм. | Арк. | № докум. | Підпис | Дата | | 12 |

замовчуванням 40%), мікроконтролер через відповідний канал релейного модуля подає живлення на котушку електромагнітного клапана, відкриваючи подачу води у цю зону. Після досягнення верхнього порогу (70%) живлення знімається і нормально закритий клапан перекриває воду. Відповідний світлодіод індикує стан зони: зелений — норма, жовтий — полив, червоний — критично сухо. Факт поливу з часовою міткою записується на сервер.

3. Управління вентиляцією. Якщо температура повітря перевищує задану межу (наприклад, 28°C) або вологість перевищує 85%, мікроконтролер через драйвер запускає кроковий двигун, який відкриває вентиляційну кватирку для провітрювання. При поверненні параметрів до норми двигун повертає кватирку у закрите положення.
4. Управління освітленням. За даними датчика освітленості система автоматично вмикає реле фітострічки при рівні освітленості нижче 2000 люкс. При досягненні рівня понад 5000 люкс реле вимикається.
5. Інтеграція з веб-сервером. Кожні 30 секунд мікроконтролер надсилає на веб-сервер пакет із поточними показниками датчиків та станом виконавчих пристроїв, які записуються у базу даних. У відповідь пристрій отримує команди ручного керування. У межах даної роботи реалізовано саме апаратну взаємодію із сервером — формування та надсилання запитів з боку мікроконтролера. Структура бази даних, серверний застосунок та клієнтський інтерфейс користувача є предметом окремих робіт комплексної розробки і детально розглянуті у відповідних кваліфікаційних роботах співавторів.

2.2 Розробка структурної схеми пристрою

Структурна схема є першою моделлю електронного пристрою, що відображає його склад і принцип роботи в загальному вигляді, без деталізації

| | | | | | | |
|------------|-------------|-----------------|---------------|-------------|-------------------------------------|-------------|
| | | | | | 2026.КВР.123.412.10.00.00 ПЗ | <i>Арк.</i> |
| <i>Зм.</i> | <i>Арк.</i> | <i>№ докум.</i> | <i>Підпис</i> | <i>Дата</i> | | 15 |

схемної реалізації окремих вузлів. Вона дозволяє швидко скласти уявлення про функціональні частини системи та взаємозв'язки між ними.

Структурну схему розробленої системи наведено на рисунку 2.1. Центральним елементом є мікроконтролер, який виконує функції збору даних, їх обробки за закладеним алгоритмом та формування керуючих впливів. Усі функціональні блоки системи поділено на чотири групи.

Блок датчиків (вхідні дані) об'єднує датчик температури й вологості повітря, три датчики вологості ґрунту, датчик освітленості та модуль годинника реального часу. Ці елементи передають інформацію про стан мікроклімату теплиці на входи мікроконтролера через відповідні цифрові інтерфейси та аналого-цифровий перетворювач.

Блок виконавчих пристроїв (вихідні впливи) реалізує керування мікрокліматом і містить три нормально закриті електромагнітні клапани зонального поливу, кроковий двигун із драйвером для приводу вентиляційної кватирки та релейний модуль, через канали якого комутується живлення котушок клапанів і фітострічки. Ці пристрої отримують сигнали керування від мікроконтролера.

Блок відображення та індикації призначений для локального контролю стану системи на місці й включає дисплей (виведення поточних значень параметрів) та світлодіоди індикації стану зон поливу.

Блок зв'язку забезпечує дистанційну взаємодію: через вбудований модуль бездротового зв'язку мікроконтролер передає зібрані дані на веб-сервер, де вони зберігаються у базі даних MySQL, та отримує у відповідь команди ручного керування з веб-інтерфейсу.

Живлення всіх вузлів системи здійснюється від окремого блока живлення; силові кола виконавчих пристр

| | | | | | | |
|-----|------|----------|--------|------|------------------------------|------|
| | | | | | 2026.КВР.123.412.10.00.00 ПЗ | Арк. |
| Зм. | Арк. | № докум. | Підпис | Дата | | 16 |

– модуль годинника реального часу — веде безперервний відлік часу завдяки резервному живленню та надає мікроконтролеру точні часові мітки для журналу подій і роботи за розкладом.

Блок виконавчих пристроїв:

– три електромагнітні клапани — нормально закриті соленоїдні клапани, що відкривають подачу води у відповідну зону поливу при подачі живлення на котушку;

– релейний модуль — за сигналами мікроконтролера комутує живлення котушок клапанів та фітострічки, гальванічно розв'язуючи логічну частину від силових кіл;

– кроковий двигун із драйвером — привід вентиляційної квартирки; драйвер перетворює логічні сигнали мікроконтролера у струми обмоток двигуна.

Блок відображення та індикації:

– дисплей — локальне відображення поточних параметрів мікроклімату та стану системи;

– три світлодіоди — індикація стану зон поливу (норма / полив / критично сухо).

Блок зв'язку:

– вбудований модуль бездротового зв'язку мікроконтролера передає дані на веб-сервер, де вони зберігаються у базі даних MySQL та відображаються у веб-інтерфейсі; зворотним каналом пристрій отримує команди ручного керування.

Блок живлення:

– забезпечує всі вузли системи необхідними напругами; силові кола виконавчих пристроїв живляться окремо від логічної частини з урахуванням їхнього струму споживання.

| | | | | | | |
|-----|------|----------|--------|------|------------------------------|------|
| | | | | | 2026.KBP.123.412.10.00.00 ПЗ | Арк. |
| Зм. | Арк. | № докум. | Підпис | Дата | | 18 |

2.3 Опис і обґрунтування вибору елементної бази

Мікроконтролер

У якості центрального мікроконтролера системи використовується плата ESP32 DevKit V1 на базі модуля ESP32-WROOM-32.[1] (див. рис.2.2)

Вибір обумовлено тим, що модуль поєднує потужний двоядерний процесор, розширений набір периферійних інтерфейсів та вбудовані модулі бездротового зв'язку Wi-Fi і Bluetooth, що дозволяє без жодних додаткових плат розширення підключити повний комплекс датчиків.[2]

Це вигідно відрізняє ESP32 від поширених плат Arduino, які потребують окремого модуля зв'язку, ускладнюючи схему та знижуючи надійність. На рисунку 2.3 зображено функціонал пінів ESP32 та на рисунку 2.4 зображено умовне позначення на функціональній схемі.

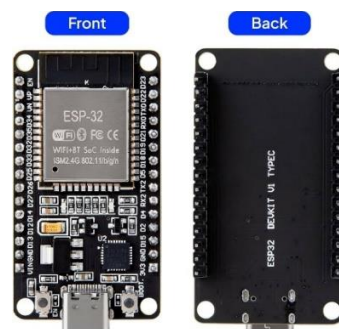


Рисунок 2.2 – Зовнішній вигляд плати ESP32 DevKit V1 та її виводи

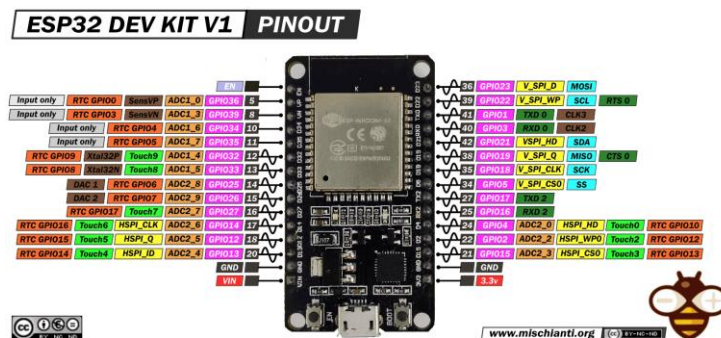


Рисунок 2.3 – Призначення пінів ESP32

- Бездротовий зв'язок: Wi-Fi 802.11 b/g/n (2,4 ГГц), Bluetooth 4.2 + BLE
- Інтерфейси: SPI, I²C, UART, ШІМ, АЦП (12 каналів, 12 біт), ЦАП (2 канали)
- Кількість виводів: 30
- Напруга живлення: 3,3 В (вхід 5 В через USB або VIN)
- Розміри плати: 52 × 25,5 мм

Датчик температури та вологості повітря

У якості датчика температури та вологості повітря використовується цифровий датчик DHT22 (AM2302).[4] Його обрано замість популярнішого, але менш точного DHT11, оскільки контроль мікроклімату теплиці потребує точності: за показниками цього датчика приймається рішення про ввімкнення вентиляції, а надмірна вологість повітря сприяє розвитку грибкових захворювань рослин. Датчик передає показники цифровим однопровідним протоколом у вигляді 40-бітного пакета, що робить його стійким до завад на лінії.[2] На рисунку 2.6 зображено умовне позначення DHT22 на функціональній схемі. (див.рис 2.5)



Рисунок 2.5 – Зовнішній вигляд датчика DHT22 та його виводи

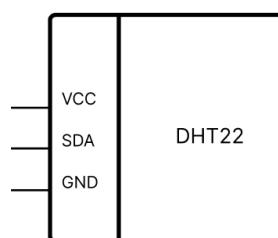


Рисунок 2.6 – Умовне позначення DHT22 на функціональній схемі

| | | | | | | |
|------------|-------------|-----------------|---------------|-------------|-------------------------------------|-------------|
| | | | | | 2026.KBP.123.412.10.00.00 ПЗ | <i>Арк.</i> |
| <i>Зм.</i> | <i>Арк.</i> | <i>№ докум.</i> | <i>Підпис</i> | <i>Дата</i> | | 21 |

Призначення виводів:

- VCC — живлення +3,3 В
- DATA — однопровідна цифрова лінія даних, підключається до GPIO 4 через підтягувальний резистор 10 кОм
- GND — спільна земля
- Технічні характеристики:
 - Діапазон вимірювання температури: $-40\dots+80$ °C, точність $\pm 0,5$ °C
 - Діапазон вимірювання вологості: 0–100 % RH, точність $\pm 2-5$ % RH
 - Напруга живлення: 3,3–5,5 В
 - Інтерфейс даних: однопровідний цифровий (40-бітний пакет)
 - Мінімальний інтервал опитування: 2 с

Ємнісний датчик вологості ґрунту

У системі використовуються три ємнісні датчики вологості ґрунту для незалежного контролю та поливу трьох окремих зон теплиці. Кожен датчик підключено до окремого аналогового входу ADC ESP32 (GPIO 34, 35, 32). Це дозволяє системі диференційовано реагувати на потреби рослин у різних ділянках теплиці — зона 1 може потребувати поливу, тоді як зони 2 і 3 ще мають достатній рівень вологості. На рисунку 2.8 зображено умовне позначення датчику на функціональній схемі. (див.рис 2.7)



Рисунок 2.7 – Зовнішній вигляд ємнісного датчика вологості ґрунту

| | | | | | | |
|-----|------|----------|--------|------|------------------------------|------|
| | | | | | 2026.KBP.123.412.10.00.00 ПЗ | Арк. |
| Зм. | Арк. | № докум. | Підпис | Дата | | 22 |

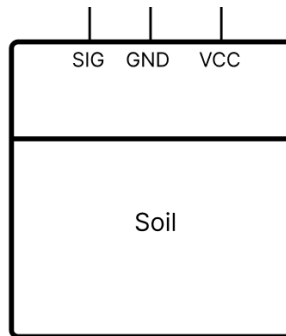


Рисунок 2.8 – Умовне позначення ємнісного датчик вологості ґрунту на функціональній схемі

Призначення виводів:

- VCC — живлення +3,3 В
- GND — спільна земля
- AOUT — аналоговий вихід 0–3,3 В, підключається до входу АЦП (GPIO 34 / 35 / 32 для зон 1–3 відповідно)

Технічні характеристики:

- Принцип дії: вимірювання діелектричної проникності ґрунту (ємнісний)
- Напруга живлення: 3,3–5,5 В
- Вихідний сигнал: аналоговий, 0–3,3 В
- Матеріал зонда: FR4 (склотекстоліт), стійкий до корозії
- Глибина занурення у ґрунт: до 38 мм

Клапан поливу

У якості клапанів поливу використовуються електромагнітні (соленоїдні) клапани 2W-160-15 з котушкою на 12 В постійного струму — по одному на кожну з трьох зон. (див.рис 2.9) Клапан є запірним двопозиційним пристроєм прямої дії: за відсутності напруги на котушці шток під дією пружини перекриває сідло клапана, при подачі напруги піднімається, відкриваючи прохід води.

Вибір обумовлено такими чинниками. Нормально закритий тип гарантує безпечну поведінку системи: у разі зникнення живлення або збою

| | | | | | | |
|------------|-------------|-----------------|---------------|-------------|-------------------------------------|-------------|
| | | | | | 2026.KBP.123.412.10.00.00 ПЗ | <i>Арк.</i> |
| <i>Зм.</i> | <i>Арк.</i> | <i>№ докум.</i> | <i>Підпис</i> | <i>Дата</i> | | 23 |

мікроконтролера полив автоматично припиняється, що виключає затоплення теплиці. Конструкція прямої дії працює за тиску від 0 до 10 кг/см², тобто клапан придатний як для водопровідної магістралі, так і для самопливної подачі води з ємності. Напруга котушки 12 В збігається з наявним силовим колом живлення крокового двигуна, що не потребує додаткового джерела. На рисунку 2.10 зображено умовне позначення клапану на функціональній схемі.



Рисунок 2.9 – Зовнішній вигляд клапана для поливу

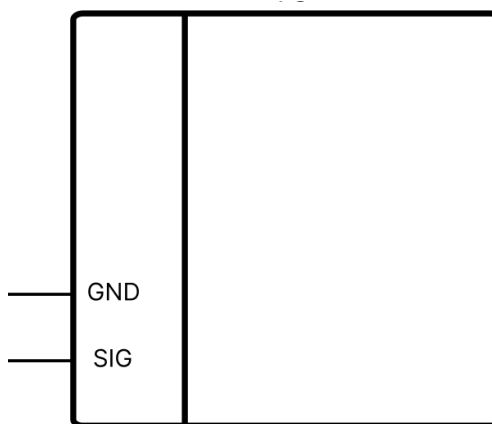


Рисунок 2.10 – Умовне позначення вигляд клапана для поливу на функціональній схемі

Призначення виводів:

- Виводи 1, 2 — контакти котушки соленоїда (полярність значення не має): вивід 1 підключається до контакту NO відповідного каналу релейного модуля, вивід 2 — до шини GND кола 12 В
- Вхідний і вихідний патрубки — приєднання до магістралі поливу, напрямок потоку позначено стрілкою на корпусі

Технічні характеристики:

- Тип: нормально закритий, прямої дії
- Напруга котушки: 12 В DC
- Споживана потужність котушки: ≈ 8 Вт ($\approx 0,65$ А)
- Робочий тиск: 0–10 кг/см²
- Робоча температура середовища: $-5\dots+80$ °С
- Приєднання: внутрішня різьба 1/2" (Ду 15)
- Матеріал корпусу: латунь

Релейний модуль

У якості релейного модуля використовується чотирьоканальний модуль реле 5 В на базі електромагнітних реле Songle SRD-05VDC-SL-C[6] з гальванічною ізоляцією кожного каналу оптопарою PC817.[10] (див.рис 2.11)

Оскільки струм котушки клапана ($\approx 0,65$ А) значно перевищує допустиме навантаження виводів мікроконтролера, безпосереднє керування клапанами з GPIU неможливе — три канали модуля комутують живлення 12 В котушок клапанів, четвертий канал — живлення фітострічки.

Використання одного багатоканального модуля замість окремих реле зменшує кількість з'єднань і точок відмови, спрощує монтаж у герметичному корпусі та здешевлює систему в перерахунку на канал; входи керування сумісні з логічними рівнями 3,3 В ESP32.

На рисунку 2.12 зображено умовне позначення модуля на функціональній схемі.

| | | | | | | |
|-----|------|----------|--------|------|------------------------------|------|
| | | | | | 2026.KBP.123.412.10.00.00 ПЗ | Арк. |
| Зм. | Арк. | № докум. | Підпис | Дата | | 25 |

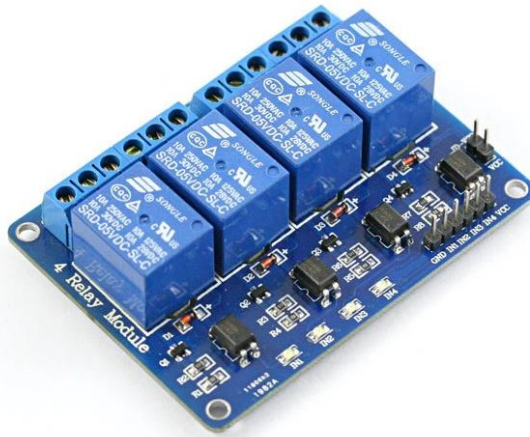


Рисунок 2.11 – Зовнішній вигляд одноканального модуля реле 5В

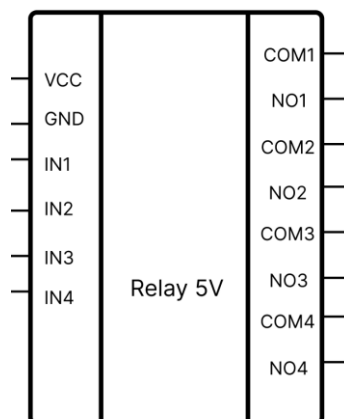


Рисунок 2.12 – Умовне позначення модуля реле на функціональній схемі

Призначення виводів:

- VCC — живлення модуля +5 В
- GND — спільна земля логічної частини
- IN1–IN4 — входи керування каналами від GPIO 13, 12, 14, 25 відповідно
- COM1–COM4 — спільні контакти каналів, підключаються до шини +12 В
- NO1–NO3 — нормально розімкнуті контакти, комутують живлення котушок клапанів Y1–Y3

– NO4 — нормально розімкнутий контакт, комутує живлення фітострічки

– NC1–NC4 — нормально замкнуті контакти (у системі не використовуються)

Датчик освітленості

У якості датчика освітленості використовується цифровий датчик BH1750 (модуль GY-302).[3] Він безпосередньо вимірює освітленість у люксах без додаткового калібрування та розрахунків і передає результат шиною I²C, що спрощує програмну обробку. Для рослин у теплиці освітленість є критичним параметром: при недостатньому освітленні уповільнюється фотосинтез, при надмірному — можливі опіки листя; за показниками цього датчика система керує фітострічкою. На рисунку 2.14 зображено умовне позначення BH1750 на функціональній схемі. (див.рис 2.13)



Рисунок 2.13 – Зовнішній вигляд модуля BH1750 (GY-302)

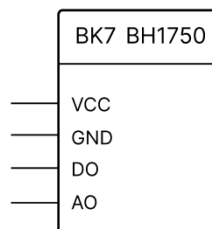


Рисунок 2.14 – Умовне позначення BH1750 на функціональній схемі

Призначення виводів:

- VCC — живлення +3,3 В
- GND — спільна земля
- SDA, SCL — шина ІС (GPIO 21, GPIO 22)
- ADDR — вибір адреси на шині (вільний — адреса 0x23; підтягнутий до VCC — 0x5C)

Технічні характеристики:

- Діапазон вимірювання: 1–65535 лк
- Роздільна здатність: 1 лк (у режимі H-Resolution2 — 0,5 лк)
- Точність: $\pm 20\%$
- Інтерфейс: ІС, адреса 0x23 (або 0x5C)
- Напруга живлення: 3,3–5 В
- Час вимірювання: 120 мс (стандартний режим)

Модуль годинника

У якості модуля годинника реального часу використовується модуль на мікросхемі DS1307 з інтерфейсом ІС.[4] Він забезпечує безперервний відлік часу незалежно від наявності основного живлення завдяки резервній літієвій батареї CR2032. Точний час необхідний системі для формування часових міток подій (поливів, спрацювань вентиляції), які записуються до журналу на сервері, та для роботи за розкладом. На рисунку 2.16 зображено умовне позначення DS1307 на функціональній схемі. (див.рис 2.15)

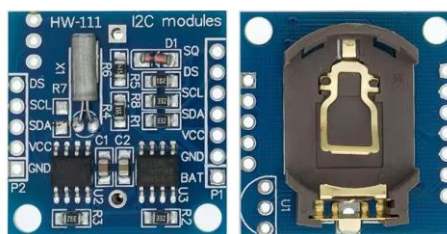


Рисунок 2.15 – Зовнішній вигляд модуля RTC DS1307

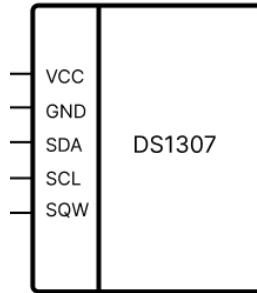


Рисунок 2.16 – Умовне позначення DS1307 на функціональній схемі

Призначення виводів:

- VCC — живлення +5 В
- GND — спільна земля
- SDA, SCL — шина ІС (GPIO 21, GPIO 22), адреса 0x68
- SQW — програмований вихід прямокутних імпульсів (у системі не використовується)

- BAT — резервне живлення від літієвої батареї CR2032

Технічні характеристики:

- Функції відліку: секунди, хвилини, години, день тижня, дата, місяць, рік (з урахуванням високосних років до 2100 р.)
- Енергонезалежна пам'ять: 56 байт NV RAM
- Інтерфейс: ІС, адреса 0x68
- Напруга живлення: 4,5–5,5 В; резервне живлення: 3 В (CR2032)
- Тактування: кварцовий резонатор 32,768 кГц

OLED-дисплей 0.96

OLED-дисплей 0.96" ІС OLED-дисплей побудований на драйвері SSD1306 і забезпечує локальне відображення параметрів теплиці безпосередньо на пристрої без необхідності підключення до смартфона. Оскільки кожен піксель OLED є самостійним джерелом світла і чорні пікселі не споживають енергії, дисплей відрізняється низьким енергоспоживанням, що важливо для систем з автономним живленням. Технічні характеристики OLED 0.96": – Роздільна

здатність: 128 × 64 пікселі – Розмір екрану: 0.96 дюйма – Інтерфейс: ІС (адреса 0x3C або 0x3D) – Напруга живлення: 3.3–5 В – Споживаний струм: ~20 мА – Контрастність: 2000:1 На рисунку 2.18 зображено умовне позначення дисплею на функціональній схемі. (див.рис 2.17)



Рисунок 2.17 – Зовнішній вигляд OLED-дисплея 0.96" ІС

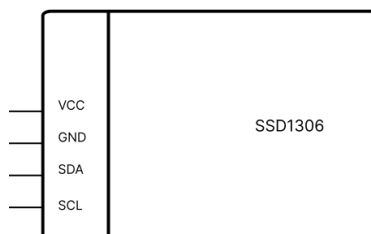


Рисунок 2.18 – Умовне позначення OLED-дисплея на функціональній схемі

Призначення виводів:

- VCC — живлення +3,3 В
- GND — спільна земля
- SDA, SCL — шина ІС (GPIO 21, GPIO 22), адреса 0x3C
- Технічні характеристики:
- Контролер: SSD1306; роздільна здатність: 128 × 64 пікселі
- Діагональ: 0,96"

- Інтерфейс: I²C, адреса 0x3C (або 0x3D)
- Напруга живлення: 3,3–5 В
- Споживаний струм: ~20 мА
- Контрастність:

Фітострічка

У якості фітострічки використовується світлодіодна стрічка SMD 5050 у силіконовій оболонці (IP65). Вона є виконавчим пристроєм штучного доосвітлення рослин за умов недостатнього природного світла: завдяки розподіленому розміщенню діодів стрічка забезпечує рівномірне освітлення площі без ризику термічного опіку листя. LED-технологія відрізняється високою енергоефективністю, тривалим терміном служби та низьким виділенням тепла, а силіконова оболонка захищає струмопровідні доріжки від окислення в умовах високої вологості теплиці. (див.рис 2.19) Живлення стрічки 12 В комутується четвертим каналом релейного модуля. На рисунку 2.20 зображено умовне позначення стрічки на функціональній схемі.



Рисунок 2.19 – Зовнішній вигляд світлодіодної стрічки

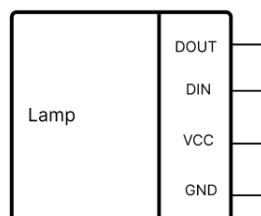


Рисунок 2.20 – Умовне позначення світлодіодного модуля доосвітлення на функціональній схемі

| | | | | | | |
|------------|-------------|-----------------|---------------|-------------|-------------------------------------|-------------|
| | | | | | 2026.KBP.123.412.10.00.00 ПЗ | <i>Арк.</i> |
| <i>Зм.</i> | <i>Арк.</i> | <i>№ докум.</i> | <i>Підпис</i> | <i>Дата</i> | | 31 |

Призначення виводів:

- «+12 В» — підключається до контакту NO4 релейного модуля
- «-» (GND) — підключається до шини GND кола 12 В
- Технічні характеристики:
- Тип світлодіодів: SMD 5050; щільність: 60 шт/м
- Напруга живлення: 12 В
- Споживана потужність: ~14,4 Вт/м
- Ступінь вологозахисту: IP65 (силіконова оболонка)
- Кут розсіювання світла: 120°

Драйвер крокового двигуна та кроковий двигун

У якості привода вентиляційної квартирки використовується біполярний кроковий двигун, керований драйвером A4988.[5] На відміну від колекторного двигуна, кроковий обертається дискретними кроками, що дозволяє точно позиціонувати квартирку у відкритому чи закритому положенні без датчиків зворотного зв'язку. Безпосереднє керування двигуном від мікроконтролера неможливе, оскільки виводи GPIO не розраховані на струми обмоток, тому між ними встановлено драйвер A4988 — спеціалізовану мікросхему, що приймає логічні сигнали STEP (крок) і DIR (напрямок) та формує відповідні струми в обмотках.[5] Драйвер підтримує мікрокрокування до 1/16 кроку, має вбудований захист від перегріву та обмеження струму, яке налаштовується підлаштовувальним резистором на платі. (див.рис 2.21 та рис. 2.22)



Рисунок 2.21 – Зовнішній вигляд крокового двигуна

| | | | | | | |
|-----|------|----------|--------|------|------------------------------|------|
| | | | | | 2026.KBP.123.412.10.00.00 ПЗ | Арк. |
| Зм. | Арк. | № докум. | Підпис | Дата | | 32 |



Рисунок 2.22 – Зовнішній вигляд драйвера A4988

На рисунку 2.23 зображено умовне позначення моторчика та драйвера на функціональній схемі.

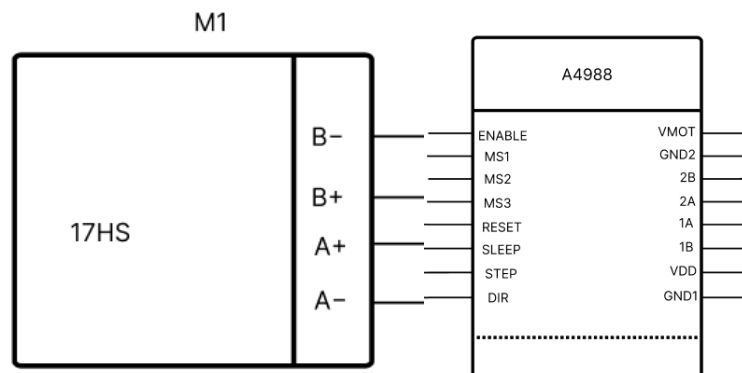


Рисунок 2.23 – Умовне позначення крокового двигуна та драйвера A4988 на функціональній схемі

Технічні характеристики:

- Тип двигуна: біполярний кроковий, крок $1,8^\circ$ (200 кроків/оберт)
- Напруга живлення двигуна: 8–35 В (у системі — 12 В)
- Мікрокрокування: до 1/16 кроку
- Максимальний струм на фазу: до 2 А (з радіатором)
- Логічні входи: STEP, DIR (3,3–5 В)

Піковий струм шини 5 В відповідає найгіршому режиму: передача даних по Wi-Fi за одночасно увімкнених усіх чотирьох каналів реле. Споживана потужність шини 5 В:

$$P_5 = U \cdot I = 5 \text{ В} \cdot 0,855 \text{ А} \approx 4,3 \text{ Вт}$$

Споживання шини 12 В зведено в таблицю 2.2. Найгіршим режимом є одночасний полив усіх трьох зон за увімкненої фітострічки та працюючого приводу кватирки.

Таблиця 2.2 – Струм споживання компонентів шини 12 В

| Компонент | Струм, А | Потужність, Вт |
|---|------------------------|----------------|
| 1 | 2 | 3 |
| Електромагнітний клапан 2W-160-15, 3 шт | $3 \times 0,65 = 1,95$ | 23,4 |
| Кроковий двигун (через драйвер А4988) | 0,35 | 4,2 |
| Фітострічка SMD 5050, відрізок 1 м | 1,2 | 14,4 |
| Разом | 3,5 | 42,0 |

Додатково шина 12 В навантажується вхідним струмом DC-DC перетворювача, який живить шину 5 В. З урахуванням ККД імпульсного перетворювача $\eta \approx 0,9$:

$$I_{12}(5\text{В}) = P_5 / (U_{12} \cdot \eta) = 4,3 / (12 \cdot 0,9) \approx 0,40 \text{ А}$$

Сумарний максимальний струм від джерела 12 В:

$$I_{12} = 3,5 + 0,40 = 3,9 \text{ А}$$

Сумарна максимальна споживана потужність системи:

$$P = U \cdot I = 12 \text{ В} \cdot 3,9 \text{ А} \approx 46,8 \text{ Вт}$$

Для надійної роботи джерело живлення обирається із запасом не менше 25 % від максимального розрахункового навантаження:

$$P_{дж} = 46,8 \cdot 1,25 \approx 58,5 \text{ Вт}$$

Таким чином, для живлення системи обрано мережевий адаптер 12 В / 5 А (60 Вт), що забезпечує необхідний запас потужності. Слід зазначити, що

найгірший режим є короткочасним і малоімовірним: у типовому робочому режимі (полив однієї зони, фітострічка вимкнена) споживання системи не перевищує 1,5 А по шині 12 В (≈ 18 Вт), тож обране джерело працюватиме у полегшеному тепловому режимі, що позитивно впливає на його ресурс.

2.5 Розрахунок надійності

Надійність — це властивість пристрою виконувати задані функції, зберігаючи свої експлуатаційні показники в заданих межах протягом необхідного проміжку часу. Основними показниками надійності є інтенсивність відмов системи Λ , середній наробіток на відмову T та ймовірність безвідмовної роботи $P(t)$ протягом заданого часу.

Розрахунок виконується за експоненціальним законом розподілу відмов, який застосовується для періоду нормальної експлуатації електронної апаратури.

Сумарна інтенсивність відмов системи визначається як сума інтенсивностей відмов усіх її елементів:

$$\Lambda = \sum N_i \cdot \lambda_i,$$

де N_i — кількість елементів i -ї групи; λ_i — інтенсивність відмов елемента i -ї групи за довідковими даними. Розрахунок зведено в таблицю 2.3.

Сумарна інтенсивність відмов системи:

$$\Lambda = 10,5 \times 10^{-6} \text{ 1/год}$$

Середній наробіток на відмову: $T = 1 / \Lambda = 1 / (10,5 \times 10^{-6}) \approx 95\,238 \text{ год} \approx 10,9 \text{ року}$

Ймовірність безвідмовної роботи протягом часу t визначається за експоненціальним законом: $P(t) = e^{(-\Lambda \cdot t)}$

В таблиці 2.4 міститься результат розрахунку ймовірності безвідмовної роботи системи

| | | | | | | |
|-----|------|----------|--------|------|------------------------------|------|
| | | | | | 2026.КВР.123.412.10.00.00 ПЗ | Арк. |
| Зм. | Арк. | № докум. | Підпис | Дата | | 36 |

шини: шина 12 В живить силові кола, а шина 5 В, отримана через знижувальний DC-DC перетворювач, живить мікроконтролер та логічну частину. Датчики й дисплей живляться напругою 3,3 В від вбудованого стабілізатора ESP32.

Датчики підключено до мікроконтролера так. Датчик температури й вологості повітря BK1 (DHT22) під'єднано до виводу GPIO 4; між лінією даних і живленням встановлено підтягувальний резистор R1 номіналом 10 кОм. Три ємнісні датчики вологості ґрунту під'єднано до аналогових входів АЦП GPIO 34, 35, 32 (зони 1–3 відповідно). Датчик освітленості BH1750, модуль годинника реального часу DS1307 та OLED-дисплей під'єднано до спільної шини I²C (GPIO 21 — SDA, GPIO 22 — SCL); кожен пристрій має власну адресу на шині (0x23, 0x68 та 0x3C відповідно), що дозволяє використовувати лише дві сигнальні лінії для трьох пристроїв.

Керування виконавчими пристроями реалізовано через чотирьоканальний модуль реле K1. Входи каналів IN1–IN4 під'єднано до виводів GPIO 13, 12, 14 та 25 відповідно. Спільні контакти всіх каналів (COM1–COM4) під'єднано до шини 12 В. Нормально розімкнуті контакти NO1–NO3 комутують живлення котушок електромагнітних клапанів Y1–Y3 (полив зон 1–3), а контакт NO4 — живлення фітострічки EL1. Другі виводи котушок клапанів та фітострічки під'єднано до спільної шини GND кола 12 В. Завдяки оптронній розв'язці модуля реле силові кола 12 В гальванічно ізольовані від логічних кіл мікроконтролера.

Привід вентиляційної кватирки реалізовано на біполярному кроковому двигуні M1, керованому драйвером A4988 (DA1). Сигнальні входи драйвера STEP та DIR під'єднано до виводів GPIO 19 та 18. Живлення логіки драйвера (VDD) здійснюється напругою 5 В, живлення двигуна (VMOT) — напругою 12 В; виводи RESET і SLEEP з'єднані між собою для постійної готовності драйвера. Виходи драйвера 1A, 1B, 2A, 2B під'єднано до обмоток А та В крокового двигуна.

Світлодіодну індикацію стану зон поливу реалізовано на світлодіодах HL1–HL3, під'єднаних до виводів GPIO 23, 15 через струмообмежувальні резистори

| | | | | | | |
|------------|-------------|-----------------|---------------|-------------|-------------------------------------|-------------|
| | | | | | <i>2026.KBP.123.412.10.00.00 ПЗ</i> | <i>Арк.</i> |
| <i>Зм.</i> | <i>Арк.</i> | <i>№ докум.</i> | <i>Підпис</i> | <i>Дата</i> | | 39 |

до мережі. На дисплей виводиться інформація про стан підключення. У разі невдалого підключення система продовжує роботу в автономному режимі, періодично повторюючи спроби з'єднання.

Основний цикл. У головному циклі програми реалізовано два незалежні часові інтервали, побудовані на функції відліку часу без блокування виконання: інтервал опитування датчиків та керування (5 секунд) та інтервал обміну даними із сервером (30 секунд). Такий підхід дозволяє системі одночасно виконувати локальне керування та мережевий обмін без взаємних затримок.

Кожні 5 секунд система виконує такі дії:

1. Зчитування показників усіх датчиків: температури й вологості повітря, вологості ґрунту трьох зон та рівня освітленості. Аналогові сигнали датчиків ґрунту й освітленості перетворюються вбудованим АЦП та масштабуються у відсотки.

2. Керування поливом (в автоматичному режимі). Для кожної зони показник вологості ґрунту порівнюється з пороговими значеннями за принципом гістерезису: якщо вологість опускається нижче нижнього порогу (40%), відкривається клапан відповідної зони; коли вологість піднімається вище верхнього порогу (70%), клапан закривається. Застосування гістерезису (зони нечутливості між порогами ввімкнення й вимкнення) виключає часте перемикання клапана за незначних коливань вимірюваного значення поблизу порогу.

3. Керування вентиляцією та освітленням. Якщо температура повітря перевищує верхній поріг (28°C) або вологість перевищує допустиму (85%), запускається привід вентиляційної кватирки (кроковий двигун); при поверненні температури нижче нижнього порогу (24°C) кватирка закривається. Фітострічка вмикається при зниженні освітленості нижче нижнього порогу й вимикається при перевищенні верхнього, також за принципом гістерезису.

| | | | | | | |
|-----|------|----------|--------|------|------------------------------|------|
| | | | | | 2026.КВР.123.412.10.00.00 ПЗ | Арк. |
| Зм. | Арк. | № докум. | Підпис | Дата | | 41 |

4. Оновлення індикації: світлодіоди зон поливу відображають поточний стан (згашений — норма, світиться — полив, блимає — критичне пересихання ґрунту).

5. Виведення поточних значень параметрів на OLED-дисплей та в діагностичний послідовний порт.

Незалежно від інтервалу опитування на кожній ітерації циклу обробляється стан приводу кватирки: поки активний режим провітрювання, на драйвер крокового двигуна подаються керуючі імпульси.

Кожні 30 секунд, за наявності з'єднання з мережею, система обмінюється даними із сервером: надсилає поточні показники датчиків та стан виконавчих пристроїв і отримує у відповідь команди ручного керування та оновлені порогові значення параметрів.

У разі втрати з'єднання виконується спроба повторного підключення. Отримання порогів із сервера дозволяє змінювати режими роботи системи дистанційно, без перепрошивання мікроконтролера.

Режими роботи.

Система підтримує два режими, що перемикаються з боку сервера: автоматичний, у якому керування виконавчими пристроями здійснюється за показниками датчиків та закладеними алгоритмами, і ручний, у якому стан клапанів, фітострічки та вентиляції задається безпосередньо командами оператора через веб-інтерфейс.

| | | | | | | |
|-----|------|----------|--------|------|------------------------------|------|
| | | | | | 2026.КВР.123.412.10.00.00 ПЗ | Арк. |
| Зм. | Арк. | № докум. | Підпис | Дата | | 42 |

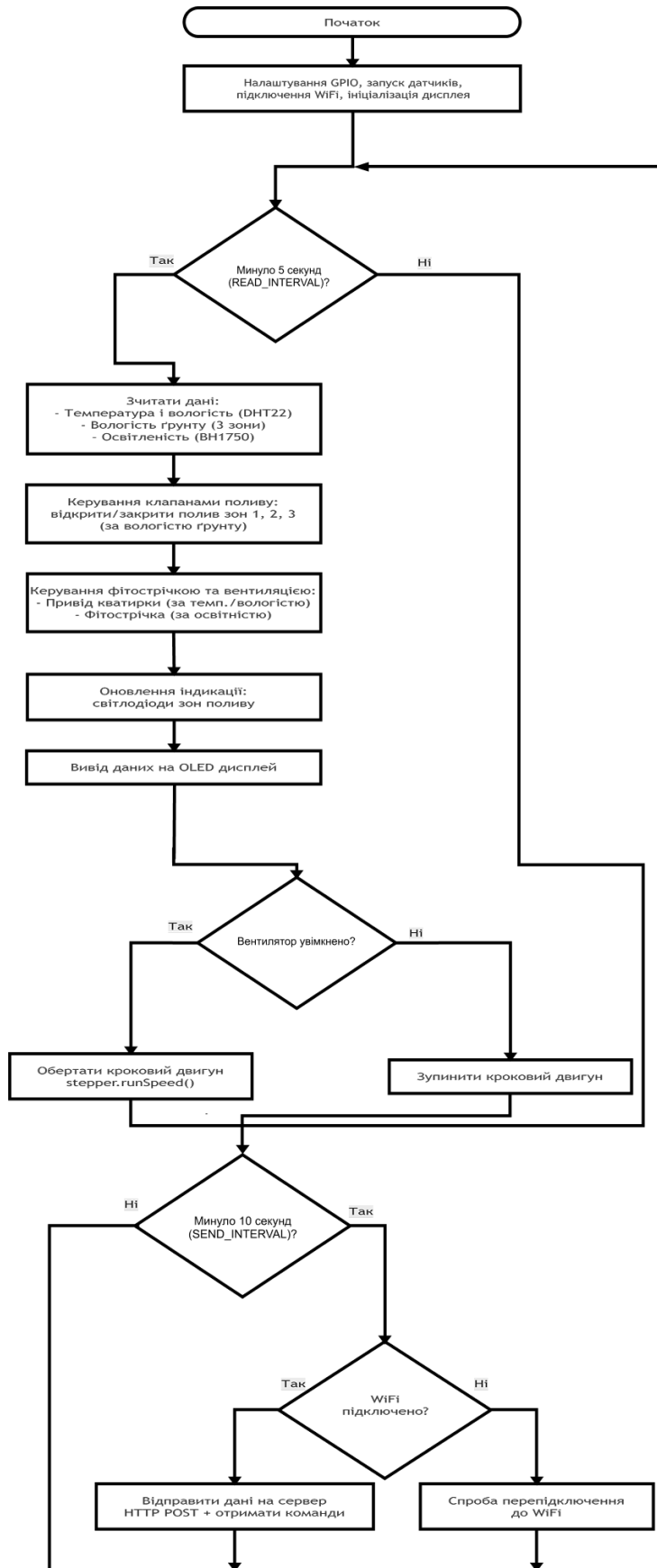


Рисунок 2.26 – Блок-схема алгоритму роботи системи управління теплицею

| | | | | |
|-----|------|----------|--------|------|
| | | | | |
| Зм. | Арк. | № докум. | Підпис | Дата |

2026.KBP.123.412.10.00.00 ПЗ

Арк.

43


```

pinMode(VALVE3_PIN, OUTPUT); digitalWrite(VALVE3_PIN, LOW);
dht.begin();
rtc.begin();
display.begin(SSD1306_SWITCHCAPVCC, OLED_ADDR);
stepper.setMaxSpeed(800);
stepper.setAcceleration(400);
connectWiFi();
}

```

Головний цикл (loop). Замість блокувальних затримок використовується перевірка інтервалів за системним лічильником millis(), що дозволяє виконувати опитування й мережевий обмін незалежно:

```

void loop() {
    unsigned long now = millis();
    if (now - lastRead >= READ_INTERVAL) {    // кожні 5 с
        lastRead = now;
        readSensors();
        if (autoMode) { controlValves(); controlActuators(); }
        updateLEDs();
        updateDisplay();
    }
    controlStepper();                          // на кожній ітерації
    if (now - lastSend >= SEND_INTERVAL) {    // кожні 30 с
        lastSend = now;
        if (WiFi.status() == WL_CONNECTED) { sendToServer(); getCommands(); }
    }

    else connectWiFi();
}
}

```

Блок зчитування датчиків (readSensors). Аналогові сигнали датчиків ґрунту й освітленості перетворюються АЦП і масштабуються у відсотки функцією map; некоректні значення DHT22 відкидаються:

```
void readSensors() {  
    float t = dht.readTemperature(), h = dht.readHumidity();  
    if (!isnan(t)) temperature = t;  
    if (!isnan(h)) humidity = h;  
    soil1 = constrain(map(analogRead(SOIL1_PIN), 4095, 0, 0, 100), 0, 100);  
    soil2 = constrain(map(analogRead(SOIL2_PIN), 4095, 0, 0, 100), 0, 100);  
    soil3 = constrain(map(analogRead(SOIL3_PIN), 4095, 0, 0, 100), 0, 100);  
    lux = constrain(map(analogRead(LDR_PIN), 0, 4095, 0, 100), 0, 100);  
}
```

Блок керування поливом (controlValves). Реалізує гістерезисне керування: клапан відкривається при зниженні вологості нижче нижнього порогу й закривається при підвищенні вище верхнього. Зберігання стану в окремій змінній виключає зайве перемикання реле:

```
void controlSingleValve(int valvePin, float soil, bool& state, int zone) {  
    if (soil < SOIL_DRY && !state) {  
        digitalWrite(valvePin, HIGH); // відкрити клапан  
        state = true;  
    } else if (soil > SOIL_WET && state) {  
        digitalWrite(valvePin, LOW); // закрити клапан  
        state = false;  
    }  
}
```

```
void controlValves() {  
    controlSingleValve(VALUE1_PIN, soil1, valve1State, 1);  
}
```

| | | | | | | |
|-----|------|----------|--------|------|------------------------------|------|
| | | | | | 2026.KBP.123.412.10.00.00 ПЗ | Арк. |
| Зм. | Арк. | № докум. | Підпис | Дата | | 46 |

```

controlSingleValve(VALVE2_PIN, soil2, valve2State, 2);
controlSingleValve(VALVE3_PIN, soil3, valve3State, 3);
}

```

Блок керування вентиляцією та освітленням (controlActuators). Ознака провітрювання встановлюється при перевищенні порогів температури або вологості, фітострічка комутується за рівнем освітленості — обидва рішення з гістерезисом:

```

void controlActuators() {
    if ((temperature > TEMP_MAX || humidity > HUM_MAX) && !fanState)
        fanState = true;
    else if (temperature < TEMP_MIN && humidity < HUM_MAX && fanState)
        fanState = false;

    if (lux < LUX_MIN && !lampState) {
        digitalWrite(RELAY_LAMP, LOW); lampState = true; // увімкнути
    } else if (lux > LUX_MAX && lampState) {
        digitalWrite(RELAY_LAMP, HIGH); lampState = false; // вимкнути
    }
}

```

Блок керування кроковим двигуном (controlStepper). Обробляється на кожній ітерації: поки активна ознака провітрювання, двигун обертається й відкриває кватирку, інакше драйвер переводиться в режим спокою:

```

void controlStepper() {
    if (fanState) {
        digitalWrite(STEPPER_EN, LOW); // увімкнути драйвер
        stepper.setSpeed(600);
    }
}

```

| | | | | | | |
|-----|------|----------|--------|------|------------------------------|------|
| | | | | | 2026.KBP.123.412.10.00.00 ПЗ | Арк. |
| Зм. | Арк. | № докум. | Підпис | Дата | | 47 |

```

    stepper.runSpeed();
} else {
    digitalWrite(STEPPER_EN, HIGH); // режим спокою
    stepper.stop();
}
}

```

Блок індикації (updateLEDs). Світлодіод зони згашений за норми, світиться під час поливу, блимає при критичному пересиханні:

```

void updateSingleLED(int pin, float soil) {
    if (soil < SOIL_CRIT)    digitalWrite(pin, (millis()/300) % 2); // блимає
    else if (soil < SOIL_DRY) digitalWrite(pin, HIGH);           // полив
    else                    digitalWrite(pin, LOW);             // норма
}

```

Блок обміну з сервером (getCommands). Відповідь сервера у форматі JSON розбирається бібліотекою ArduinoJson; зчитуються режим роботи, оновлені пороги та команди ручного керування. У ручному режимі автоматичні алгоритми блокуються:

```

JsonObject doc;
deserializeJson(doc, payload);
const char* mode = doc["mode"] | "auto";
autoMode = (strcmp(mode, "auto") == 0);
JsonObject settings = doc["settings"];
if (settings) {
    if (settings["soil_dry"]) SOIL_DRY = settings["soil_dry"].as<float>();
    if (settings["temp_max"]) TEMP_MAX = settings["temp_max"].as<float>();
    // ... інші пороги
}

```

Повний текст програми наведено в додатку А.

Слід зазначити, що розроблена програма мікроконтролера реалізує лише апаратну сторону взаємодії — формування та надсилання запитів на сервер і приймання команд у відповідь. Серверна частина (база даних та програмний інтерфейс обміну) і клієнтський веб-інтерфейс користувача розробляються окремо в межах суміжних кваліфікаційних робіт співавторів комплексної розробки. Веб-інтерфейс забезпечує дистанційний моніторинг показників мікроклімату в реальному часі, перегляд історії вимірювань, перемикання між автоматичним і ручним режимами, ручне керування виконавчими пристроями та налаштування порогових значень параметрів, які потім передаються на мікроконтролер. Зовнішній вигляд веб-інтерфейсу наведено на рисунку 2.27.

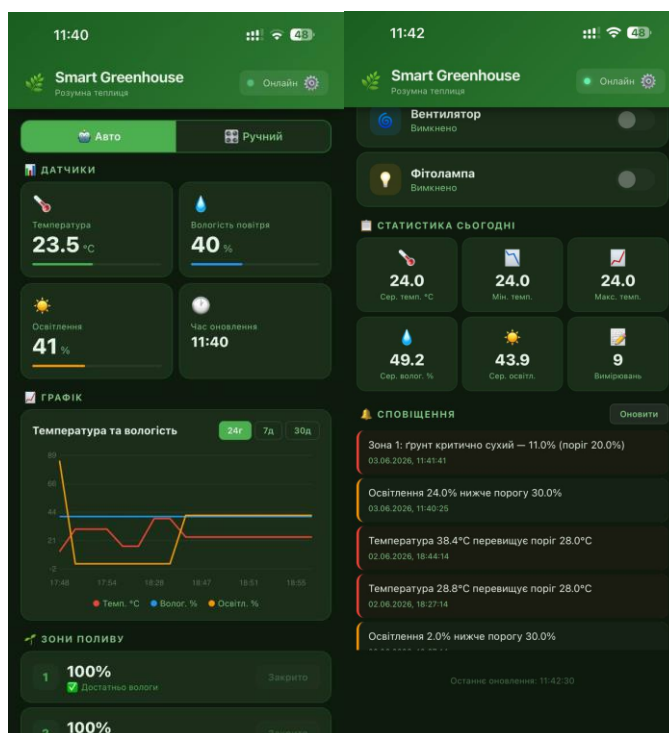


Рисунок 2.27 – Скриншот веб-інтерфейсу із відображенням даних теплиці

грунту трьох зон. В автоматичному режимі система самостійно керує поливом кожної зони через електромагнітні клапани, провітрюванням через привід квартирки та фітострічкою без участі оператора. Стан зон поливу дублюється світлодіодною індикацією: згашений світлодіод відповідає нормальній вологості, постійне світіння — активному поливу, блимання — критичному пересиханню ґрунту. Для дистанційного моніторингу й керування слід відкрити веб-інтерфейс системи у браузері смартфона або комп'ютера, де доступні поточні показники датчиків, графіки зміни параметрів, журнал подій із часовими мітками та ручне керування виконавчими пристроями.

Технічне обслуговування. Раз на місяць потрібно очищати датчик DHT22 від пилу та конденсату м'якою сухою тканиною. Раз на сезон слід перевіряти стан ємнісних датчиків ґрунту, очищаючи їх від бруду та коренів рослин, а також перевіряти механічну частину електромагнітних клапанів і за потреби очищати фільтр грубого очищення на вході магістралі поливу. Раз на рік необхідно замінювати батарею CR2032 у модулі годинника, перевіряти стан контактів реле та надійність кабельних з'єднань. У разі виникнення помилок діагностичні повідомлення можна переглянути у журналі подій веб-інтерфейсу або у виводі діагностичного послідовного порту.

3.2 Розробка методики перевірки функціонування пристрою

Перевірка системи керування теплицею виконується у два етапи: попередня перевірка функціонування у симуляційному середовищі та перевірка на реальному обладнанні. Перелік перевірок та очікуваних результатів наведено нижче.

Перший етап — попередня перевірка алгоритмів. На цьому етапі перевіряється коректність роботи програмного забезпечення та логіки керування.

Перевірка зчитування датчика повітря. Після запуску в діагностичному порту (115200 бод) кожні 5 секунд мають виводитися значення температури та

| | | | | | | |
|-----|------|----------|--------|------|------------------------------|------|
| | | | | | 2026.КВР.123.412.10.00.00 ПЗ | Арк. |
| Зм. | Арк. | № докум. | Підпис | Дата | | 51 |

Перевірка клапанів поливу. При зниженні вологості ґрунту нижче 40% відповідний електромагнітний клапан має відкривати подачу води, при підвищенні вище 70% — перекривати її.

Перевірка приводу кватирки. При підвищенні температури вище 28°C кроковий двигун має приводити в рух вентиляційну кватирку та зупинятися при поверненні температури до норми.

Перевірка годинника при втраті живлення. Живлення системи відключають на 1 хвилину; після повторного ввімкнення час на дисплеї має відповідати реальному, що підтверджує роботу резервного живлення від батареї.

Перевірка мережевого підключення. Слід переконатися, що мікроконтролер успішно з'єднується з мережею Wi-Fi (відповідне повідомлення з IP-адресою у діагностичному порту).

Перевірка серверного обміну. У веб-інтерфейсі показники датчиків мають оновлюватися кожні 30 секунд, а журнал подій — містити записи з коректними часовими мітками.

| | | | | | | |
|-----|------|----------|--------|------|------------------------------|------|
| | | | | | 2026.КВР.123.412.10.00.00 ПЗ | Арк. |
| Зм. | Арк. | № докум. | Підпис | Дата | | 53 |

4 ЕКОНОМІЧНА ЧАСТИНА

Метою економічної частини кваліфікаційної роботи є здійснення економічних розрахунків, спрямованих на визначення собівартості та економічної ефективності розробки мікропроцесорної системи автоматизованого керування розумною теплицею і прийняття рішення про доцільність її впровадження.

4.1 Визначення стадій технологічного процесу та загальної тривалості проведення НДР

Для визначення загальної тривалості проведення НДР дані витрат часу за окремими стадіями технологічного процесу доцільно звести у таблицю. Виконавцем стадій технологічного процесу є розробник, окремі стадії супроводжуються консультаціями керівника проекту. У таблиці 4.1 наведено стадії технологічного процесу та тривалість їх виконання.

Таблиця 4.1 – Стадії технологічного процесу та тривалість НДР

| № | Назва стадії (операції) | Виконавець | Тривалість, роб. днів |
|---|---|------------|-----------------------|
| | 1 | 2 | 3 |
| 1 | Аналіз ТЗ, огляд літератури та аналогів | Керівник | 5 |
| 2 | Розробка структурної та функціональної схем | Інженер | 16 |
| 3 | Вибір та обґрунтування елементної бази | Інженер | 6 |

| № | Назва стадії (операції) | Виконавець | Тривалість, роб. днів |
|-------|---|------------|--------------------------|
| | 1 | 2 | 3 |
| 4 | Розробка функціональної електричної схеми | Інженер | 8 |
| 5 | Розробка алгоритму та написання програми | Інженер | 16 |
| 6 | Налагодження та тестування системи | Інженер | 6 |
| 7 | Розрахункова частина (потужність, надійність) | Інженер | 8 |
| 8 | Оформлення пояснювальної записки | Інженер | 8 |
| Разом | | | 73 |

Загальна тривалість НДР становить 73 години.

4.2 Визначення витрат на оплату праці та відрахувань на соціальні заходи

Оплата праці — це грошовий вираз вартості робочої сили, який виступає у формі заробітку, виплаченого працівникові за виконану роботу. Основна заробітна плата розраховується за формулою 4.1:

$$Z_{осн} = T_c \cdot K_g, \quad (4.1)$$

де T_c — тарифна (годинна) ставка, грн; K_g — кількість відпрацьованих годин.

Основна заробітна плата становить:

Керівник проекту $Z_{осн1} = 5 \cdot 300 = 1500,00$ грн;

Інженер $Z_{осн2} = 68 \cdot 220 = 14960,00$ грн.

Сумарна основна заробітна плата становить:

| | | | | | | |
|-----|------|----------|--------|------|-------------------------------------|------|
| | | | | | 2026.КВР.123.412.10.00.00 ПЗ | Арк. |
| Зм. | Арк. | № докум. | Підпис | Дата | | 55 |

$$Зосн = 1500,00 + 149600,00 = 16460,00 \text{ грн.}$$

Додаткова заробітна плата прийнята на рівні 12 % від основної та обчислюється за формулою 4.2:

$$Здод = Зосн \cdot Кдопл, \quad (4.2)$$

де Кдопл — коефіцієнт додаткових виплат працівникам (0,1–0,15). Отже, додаткова заробітна плата становить:

$$\text{Керівник проекту } Здод1 = 1500,00 \cdot 0,12 = 180,00 \text{ грн.}$$

$$\text{Інженер } Здод2 = 14960,00 \cdot 0,12 = 1795,2 \text{ грн.}$$

Сумарна додаткова заробітна плата:

$$Здод = 180,00 + 1795,2 = 1975,2 \text{ грн.}$$

Загальні витрати на оплату праці визначаються за формулою 4.3:

$$Во.п = Зосн + Здод, \quad (4.3)$$

$$Во.п = 16460,00 + 1975,2 = 18435,2 \text{ грн.}$$

Відрахування на соціальні заходи (єдиний соціальний внесок) становлять 22 % від фонду оплати праці та обчислюються за формулою 4.4:

$$Вс.з = ФОП \cdot 0,22, \quad (4.4)$$

$$Вс.з = 18435,2 \cdot 0,22 = 4055,7 \text{ грн.}$$

Проведені розрахунки витрат на оплату праці зведено у таблицю 4.2.

Таблиця 4.2 – Зведені розрахунки витрат на оплату праці

| № з/п | Категорія працівників | Тариф., грн/год | К-сть год | Зосн, грн | Здод, грн | Нарахування на ФОП, грн. | Всього, грн |
|-------|-----------------------|-----------------|-----------|-----------|-----------|--------------------------|-------------|
| | 1 | 2 | 3 | 4 | 5 | 6 | |
| 1 | Керівник проекту | 300 | 5 | 1500 | 180 | - | - |
| 2 | Інженер | 220 | 68 | 14960 | 1975,2 | - | - |
| Разом | | | 73 | 16460 | 18435,2 | 4055,7 | 22491,00 |

| № | Найменування | Од. | К-сть | Ціна, грн | Сума, грн |
|-------|--------------------------------|-------|-------|-----------|--------------|
| | 1 | 2 | 3 | 4 | 5 |
| 10 | OLED-дисплей 0,96" PC | шт | 1 | 95 | 95 |
| 11 | Світлодіоди індикації | шт | 3 | 5 | 15 |
| 12 | Резистори (220 Ом, 10 кОм) | набір | 1 | 10 | 10 |
| 13 | Блок живлення (адаптер 12В/5А) | шт | 1 | 280 | 280 |
| 14 | DC-DC перетворювач LM2596 | шт | 1 | 40 | 40 |
| 15 | Макетна плата | шт | 1 | 45 | 45 |
| 16 | З'єднувальні проводи | набір | 1 | 70 | 70 |
| 17 | USB-кабель | шт | 1 | 50 | 50 |
| Разом | | | | | 2 430,00 |

Загальна сума матеріальних витрат становить 2 430,00 грн.

4.4 Розрахунок витрат на електроенергію

Витрати на електроенергію визначаються за формулою 4.7:

$$Z_e = W \cdot T \cdot S, \quad (4.7)$$

де W — споживана потужність обладнання, кВт; T — кількість годин роботи обладнання; S — вартість кіловат-години електроенергії, грн. Час роботи персонального комп'ютера над проектом становить 35 год, споживана потужність — 0,3 кВт, вартість 1 кВт·год електроенергії — 15,94 грн. Тому витрати на електроенергію становлять:

$$Z_e = 0,3 \cdot 35 \cdot 15,94 = 167,37 \text{ грн.}$$

| | | | | | | |
|-----|------|----------|--------|------|-------------------------------------|------|
| | | | | | 2026.KBP.123.412.10.00.00 ПЗ | Арк. |
| Зм. | Арк. | № докум. | Підпис | Дата | | 58 |

4.5 Визначення транспортних затрат

Транспортні витрати прогнозуються у розмірі 8–10 % від загальної суми матеріальних затрат та розраховуються за формулою 4.8:

$$T_v = Z_{m.v} \cdot 0,08 \dots 0,1, \quad (4.8)$$

де T_v — транспортні витрати. Отже, транспортні витрати становлять:

$$T_v = 2\,430 \cdot 0,1 = 243,00 \text{ грн.}$$

4.6 Розрахунок суми амортизаційних відрахувань

Персональний комп'ютер належить до четвертої групи основних фондів. Для визначення амортизаційних відрахувань застосовується формула 4.9:

$$A = B_v \cdot N_a / 100 \%, \quad (4.9)$$

де A — амортизаційні відрахування за звітний період, грн; B_v — балансова вартість основних фондів, грн; N_a — річна норма амортизації, %. Балансова вартість комп'ютера становить 45 000 грн.

За період НДР сума амортизаційних відрахувань становить:

$$A = 45000 \cdot 0,040 / 150 \cdot 35 = 420,00 \text{ грн.}$$

4.7 Обчислення накладних витрат

Накладні витрати — це витрати, не пов'язані безпосередньо з технологічним процесом, що утворюються під впливом умов з організації, управління та обслуговування. Накладні витрати можуть становити 20–60 % від суми основної та додаткової заробітної плати працівників та обчислюються за формулою 4.10:

$$N_v = V_{o.n} \cdot 0,2 \dots 0,6, \quad (4.10)$$

де N_v — накладні витрати. Прийнявши коефіцієнт накладних витрат 0,2, отримуємо:

| | | | | | | |
|-----|------|----------|--------|------|------------------------------|------|
| | | | | | 2026.КВР.123.412.10.00.00 ПЗ | Арк. |
| Зм. | Арк. | № докум. | Підпис | Дата | | 59 |

$$H_v = 18435,2 \cdot 0,2 = 3687,00 \text{ грн.}$$

4.8 Складання кошторису витрат та визначення собівартості НДР

Кошторис витрат являє собою зведений план усіх витрат на виконання НДР. Результати проведених вище розрахунків зведено у таблицю 4.4.

Таблиця 4.4 – Кошторис витрат на НДР

| Зміст витрат | Сума, грн | % до загальної суми |
|---|-----------|---------------------|
| 1 | 2 | 3 |
| Витрати на оплату праці (основна і додаткова) | 18435,2 | 64.37 |
| Відрахування на соціальні заходи | 4055,7 | 14.16 |
| Матеріальні витрати | 2 430,00 | 3.48 |
| Витрати на електроенергію | 167,37 | 2.19 |
| Транспортні витрати | 243,00 | 0.35 |
| Амортизаційні відрахування | 420,00 | 2.58 |
| Накладні витрати | 3687,00 | 12.87 |
| Собівартість НДР | 29 438,3 | 100 |

Собівартість НДР розраховується за формулою 4.11:

$$C_v = B_o.n + B_c.z + Z_m.v + Z_e + T_v + A + H_v . \quad (4.11)$$

Собівартість дорівнює $C_v = 29 438,3$ грн.

4.9 Розрахунок ціни НДР

Ціну НДР можна визначити за формулою 4.12:

$$Ц = C_v \cdot (1 + P_{рен}) \cdot (1 + ПДВ), \quad (4.12)$$

де $P_{рен}$ — рівень рентабельності;

ПДВ — ставка податку на додану вартість (20 %).

$$Ц = 29\,438,3 \cdot (1 + 0,3) \cdot (1 + 0,2) = 45923,7 \text{ грн.}$$

4.10 Визначення економічної ефективності і терміну окупності

Ефективність виробництва – це узагальнене і повне відображення кінцевих результатів використання робочої сили, засобів та предметів праці на підприємстві за певний проміжок часу.

Для визначення ефективності продукту розраховують чисту теперішню вартість (ЧТВ) і термін окупності ($T_{ок}$).

$$ЧТВ = -K_B + \sum_{i=1}^t \frac{\Gamma_{\Pi}}{(1+i)^i}, \quad (4.13)$$

де K_B – затрати на проект;

Γ_{Π} – грошовий потік за t – ий рік;

t – відповідний рік проекту;

i - величина дисконтної ставки (10...15%).

Якщо $ЧТВ \geq 0$, то проект може бути рекомендований до впровадження.

$$ЧТВ = -29\,438,3 + \frac{16485,4}{(1+0,1)} + \frac{16485,4}{(1+0,1)^2} + \frac{16485,4}{(1+0,1)^3} = 11558,4$$

Термін окупності визначається за формулою:

| | | | | | | |
|-----|------|----------|--------|------|------------------------------|------|
| | | | | | 2026.КВР.123.412.10.00.00 ПЗ | Арк. |
| Зм. | Арк. | № докум. | Підпис | Дата | | 61 |

$$T_{OK} = T_{ПВ} + \frac{H_B}{Г_{ПР}} \quad (4.14)$$

де $T_{ПВ}$ – період до повного відшкодування витрат, років;

H_B – невідшкодовані витрати на початок року, грн.;

$Г_{ПР}$ – грошовий потік на початок року, грн.

$$T_{OK} = 2 + \frac{4099,7}{16485,4} = 2,2$$

Усі дані розрахунків внесено у зведену таблицю 4.5 техніко-економічних показників.

Таблиця 4.5 – Техніко-економічні показники розробки

| № | Показник | Значення |
|---|--------------------------------|----------|
| | 1 | 2 |
| 1 | Собівартість НДР, грн | 29 438,3 |
| 2 | Плановий прибуток, грн | 16485,4 |
| 3 | Ціна НДР, грн | 45923,7 |
| 4 | Чиста теперішня вартість, грн. | 11558,4 |
| 5 | Термін окупності, рік | 2,2 |

Собівартість розробленої системи становить 29 438,3 грн. Термін окупності складає 2,2 роки.

5 ОХОРОНА ПРАЦІ, ТЕХНІКА БЕЗПЕКИ ТА ЖИТЄДІЯЛЬНОСТІ

Розробка та експлуатація мікропроцесорної системи автоматизованого керування теплицею пов'язані з низкою небезпечних і шкідливих виробничих чинників. Згідно із Законом України «Про охорону праці», роботодавець зобов'язаний створити на робочому місці умови праці відповідно до нормативно-правових актів і нести відповідальність за шкоду, заподіяну здоров'ю працівника [12]. Специфіка об'єкта — поєднання електронного обладнання з умовами сільськогосподарського приміщення (підвищена вологість, перепади температур, наявність води) — зумовлює потребу в особливій увазі до електробезпеки, захисту від статичної електрики, впливу електромагнітних випромінювань та безпеки монтажних робіт. У розділі ці питання розглянуто відповідно до чинних нормативних документів і сучасної навчальної літератури з охорони праці [15, 16, 17].

5.1 Електробезпека та захист від статичної електрики мікропроцесорних систем в умовах підвищеної вологості

Електробезпека — це система організаційних і технічних заходів та засобів, що забезпечують захист людей від шкідливого й небезпечного впливу електричного струму, електричної дуги та статичної електрики [15]. Дія електричного струму на організм людини може бути термічною (опіки), електролітичною (розклад крові та інших рідин), механічною (розрив тканин) та біологічною (порушення роботи нервової та серцево-судинної систем). Найнебезпечнішим є фібриляція серця, що виникає вже за струму близько 50 мА промислової частоти.

За ступенем небезпеки ураження електричним струмом приміщення поділяють на три класи: без підвищеної небезпеки, з підвищеною небезпекою та особливо небезпечні.

| | | | | | | |
|-----|------|----------|--------|------|------------------------------|------|
| | | | | | 2026.КВР.123.412.10.00.00 ПЗ | Арк. |
| Зм. | Арк. | № докум. | Підпис | Дата | | 63 |

Теплиця належить до приміщень з підвищеною небезпекою, а за наявності конденсату й постійної вологості може кваліфікуватися як особливо небезпечна, оскільки відносна вологість повітря в ній перевищує 75%, а на струмопровідних поверхнях можливе утворення вологи [15]. Волога знижує опір ізоляції обладнання та опір тіла людини, через що ймовірність і тяжкість ураження струмом у теплиці суттєво зростають порівняно зі звичайними приміщеннями.

Основним джерелом електричної небезпеки в розробленій системі є силове коло керування фітолампю напругою 220 В, що комутується через модуль реле. Для зниження ризику ураження струмом застосовано комплекс заходів:

- застосування малих (безпечних) напруг живлення: логічна частина, датчики та виконавчі механізми працюють від 5–12 В, що є безпечним для людини рівнем напруги (нижчим за гранично допустимі 42 В для приміщень з підвищеною небезпекою);
- гальванічна розв'язка силового кола 220 В від низьковольтної логіки за допомогою модуля реле з оптопарою РС817, що унеможливорює потрапляння високої напруги на виводи мікроконтролера навіть у разі несправності [10];
- захисне заземлення (занулення) металевих корпусів обладнання, що з'єднує доступні струмопровідні частини із заземлювальним пристроєм і запобігає появі на них небезпечної потенціалу;
- застосування пристрою захисного відключення (ПЗВ) з диференційним струмом спрацювання 30 мА у живильному колі 220 В, який вимикає живлення за частки секунди в разі витoku струму на корпус або через тіло людини;
- розміщення електронного блоку та всіх силових з'єднань у герметичному корпусі зі ступенем захисту не нижче IP54, що запобігає потраплянню вологи й пилу на струмопровідні частини;
- застосування кабелів із подвійною вологостійкою ізоляцією та перерізом жил, що відповідає струмовому навантаженню.

| | | | | | | |
|-----|------|----------|--------|------|-------------------------------------|------|
| | | | | | 2026.КВР.123.412.10.00.00 ПЗ | Арк. |
| Зм. | Арк. | № докум. | Підпис | Дата | | 64 |

У разі ураження людини електричним струмом необхідно негайно звільнити потерпілого від дії струму (вимкнути живлення або відокремити його від струмопровідної частини за допомогою діелектричного предмета), після чого за потреби провести штучне дихання та непрямий масаж серця й викликати медичну допомогу [16].

Окремої уваги потребує захист мікропроцесорних компонентів від статичної електрики. Інтегральні мікросхеми (ESP32, BH1750, DS1307, драйвер A4988) виготовлені за технологіями, чутливими до електростатичних розрядів (ESR).

Накопичений на тілі людини заряд може сягати кількох кіловольтів і під час дотику до виводів мікросхеми спричинити її миттєвий пробій або, що небезпечніше, прихований дефект, який виявляється лише згодом у вигляді нестабільної роботи пристрою. Механізм накопичення статичного заряду пов'язаний із тертям діелектричних матеріалів (одягу, взуття об підлогу), і ризик ESR зростає за зниженої вологості повітря — узимку, в опалюваних приміщеннях.

Для захисту від ESR під час монтажу та обслуговування системи слід дотримуватися антистатичних заходів [17]:

- використовувати антистатичний браслет, заземлений через резистор 1 МОм на спільну точку заземлення;
- виконувати роботи на антистатичному килимку;
- зберігати й транспортувати мікросхеми в антистатичній (струмопровідній або екранувальній) упаковці;
- уникати дотику руками до виводів мікросхем та контактних майданчиків плати;
- підтримувати у приміщенні для монтажу відносну вологість на рівні 40–60%, що знижує накопичення заряду.

Слід враховувати, що в теплиці одночасно діють два протилежні чинники: висока вологість знижує накопичення статичного заряду, але підвищує

| | | | | | | |
|-----|------|----------|--------|------|------------------------------|------|
| | | | | | 2026.КВР.123.412.10.00.00 ПЗ | Арк. |
| Зм. | Арк. | № докум. | Підпис | Дата | | 65 |

небезпеку ураження мережевим струмом. Тому заходи електробезпеки та антистатичного захисту мають застосовуватися комплексно.

5.2 Оцінка впливу електромагнітних випромінювань радіочастот від бездротових модулів передачі даних

Передача даних у системі здійснюється бездротовим модулем Wi-Fi, вбудованим у мікроконтролер ESP32, що працює в діапазоні 2,4 ГГц за стандартом IEEE 802.11 b/g/n [2]. Робота передавача супроводжується електромагнітним випромінюванням радіочастотного діапазону (ЕМВ РЧ), вплив якого на організм людини потребує гігієнічної оцінки.

Електромагнітне поле радіочастот належить до шкідливих виробничих чинників фізичної природи. Біологічна дія ЕМВ зумовлена тепловим ефектом (нагрівання тканин за рахунок поглинання енергії поля) та нетепловим (інформаційним) впливом на клітинні процеси [16]. Ступінь впливу залежить від частоти, інтенсивності (густини потоку енергії), тривалості опромінення та індивідуальних особливостей організму. Тривала дія підвищених рівнів ЕМВ може спричиняти функціональні розлади нервової системи (вдома, головний біль, дратівливість, порушення сну), серцево-судинної системи (зміни артеріального тиску, частоти серцевих скорочень), а також впливати на ендокринну й імунну системи.

Нормування ЕМВ радіочастотного діапазону здійснюється за гранично допустимими рівнями (ГДР) густини потоку енергії. Для населення в діапазоні надвисоких частот, до якого належить 2,4 ГГц, гранично допустима густина потоку енергії становить 10 мкВт/см² (0,1 Вт/м²) [16]. Для оцінки безпеки модуля визначимо реальний рівень випромінювання. Потужність передавача Wi-Fi модуля ESP32 не перевищує 20 дБм, що відповідає 100 мВт (0,1 Вт). Густина потоку енергії на відстані r від ізотропного джерела визначається як:

$$S = P / (4 \cdot \pi \cdot r^2), \quad (5.1)$$

| | | | | | | |
|-----|------|----------|--------|------|------------------------------|------|
| | | | | | 2026.KBP.123.412.10.00.00 ПЗ | Арк. |
| Зм. | Арк. | № докум. | Підпис | Дата | | 66 |

де P — потужність передавача, Вт; r — відстань до джерела, м. На відстані $r = 0,2$ м від антени модуля густина потоку енергії становить:

$$S = 0,1 / (4 \cdot 3,14 \cdot 0,2^2) = 0,1 / 0,502 = 0,199 \text{ Вт/м}^2 = 19,9 \text{ мкВт/см}^2.$$

На робочій відстані $r = 0,5$ м цей показник знижується до:

$$S = 0,1 / (4 \cdot 3,14 \cdot 0,5^2) = 0,032 \text{ Вт/м}^2 = 3,2 \text{ мкВт/см}^2,$$

що нижче за гранично допустимий рівень для населення. Слід також враховувати, що наведений розрахунок відповідає режиму безперервного випромінювання на повній потужності, тоді як реальний модуль передає дані короткими сеансами (раз на 10 секунд), а решту часу перебуває в режимі очікування. Тому усереднене за часом опромінення ϵ на порядки меншим за розрахункове максимальне значення і не становить небезпеки для обслуговуючого персоналу.

Попри низький рівень випромінювання, для дотримання принципу мінімізації впливу рекомендовано: розміщувати блок керування з Wi-Fi модулем на відстані не менше 0,3–0,5 м від постійного робочого місця оператора; не перебувати тривало впритул до антени під час активної передачі; за потреби екранувати металевий корпус електрошафи, що додатково знижує рівень поля назовні [17].

5.3 Вимоги безпеки праці під час монтажу комп'ютерної техніки в сільськогосподарських приміщеннях

Монтаж і пусконаладження системи в теплиці виконуються в умовах, що відрізняються від лабораторних: підвищена вологість, обмежений простір, наявність води для поливу, перепади температур та запиленість. Це висуває додаткові вимоги до організації безпечного виконання робіт [15, 17].

До монтажних робіт допускаються особи віком від 18 років, які пройшли медичний огляд, вступний та первинний інструктажі з охорони праці й ознайомлені з правилами електробезпеки в обсязі, що відповідає виконуваним роботам [12]. Перед початком робіт необхідно:

| | | | | | | |
|-----|------|----------|--------|------|-------------------------------------|------|
| | | | | | 2026.КВР.123.412.10.00.00 ПЗ | Арк. |
| Зм. | Арк. | № докум. | Підпис | Дата | | 67 |

- знеструмити всі кола, що монтуються, та переконатися у відсутності напруги за допомогою покажчика напруги;
- перевірити справність ручного та електрифікованого інструменту, цілісність ізоляції рукояток і відсутність пошкоджень з'єднувальних кабелів;
- забезпечити достатнє штучне освітлення робочої зони (не менше 200 лк) та вільний доступ до місця монтажу;
- оцінити стан робочого місця: відсутність калюж, підтікань води системи поливу, надійність опор для встановлення обладнання.
- Безпосередньо під час монтажу слід дотримуватися таких правил безпеки:
 - усі електромонтажні роботи в колі 220 В виконувати лише при повному знятті напруги; підключення живлення до мережі здійснювати в останню чергу, після перевірки правильності всіх з'єднань;
 - прокладати кабелі так, щоб уникнути їх контакту з водою системи поливу та механічних пошкоджень рухомими частинами (серводвигунами, вентиляційною кватиркою);
 - надійно закріплювати виконавчі механізми (кроковий двигун, сервоприводи), не допускаючи їх падіння або зміщення під час роботи;
 - драйвер крокового двигуна А4988 під час роботи нагрівається, тому встановлювати його з радіатором охолодження та забезпечувати вільну циркуляцію повітря, не розміщуючи поряд із легкозаймистими матеріалами [7];
 - у разі виконання робіт на висоті (монтаж вентиляційної кватирки чи фітолампи під дахом теплиці) застосовувати справні драбини або помости та засоби захисту від падіння;
 - після монтажу провести випробування системи на холостому ході (без подачі 220 В на фітолампі) для перевірки правильності з'єднань, і лише після цього подавати робочу напругу.

Оскільки налагодження прошивки виконується за персональним комп'ютером, мають дотримуватися також вимоги до роботи з

| | | | | | | |
|------------|-------------|-----------------|---------------|-------------|-------------------------------------|-------------|
| | | | | | 2026.КВР.123.412.10.00.00 ПЗ | <i>Арк.</i> |
| <i>Зм.</i> | <i>Арк.</i> | <i>№ докум.</i> | <i>Підпис</i> | <i>Дата</i> | | 68 |

відеодисплейними терміналами згідно з НПАОП 0.00-1.28-10 [14]: відстань від очей до монітора не менше 600 мм; верхній край екрана на рівні очей; освітленість робочої поверхні 300–500 лк; регламентовані перерви тривалістю 15 хв після кожних 2 год роботи; загальна тривалість роботи за комп'ютером не більше 6 год на зміну. Робоче місце має бути обладнане кріслом із регульованою висотою та нахилом спинки, а мікроклімат приміщення відповідати оптимальним параметрам (температура 22–24 °С, відносна вологість 40–60%) [16].

Розроблена система передбачає програмні засоби, що підвищують безпеку експлуатації: у разі відмови датчика температури (повернення некоректного значення) мікроконтролер аварійно вимикає виконавчі пристрої, а команда аварійного відключення переводить усі реле та сервоприводи в безпечний стан. Це знижує ризик аварійних ситуацій під час автоматичної роботи системи без присутності оператора.

| | | | | | | |
|-----|------|----------|--------|------|------------------------------|------|
| | | | | | 2026.КВР.123.412.10.00.00 ПЗ | Арк. |
| Зм. | Арк. | № докум. | Підпис | Дата | | 69 |

ВИСНОВКИ

У даній кваліфікаційній роботі було розроблено мікропроцесорну систему автоматизованого керування розумною теплицею.

У результаті виконання роботи розроблено автоматизовану систему, яка забезпечує підтримання оптимальних параметрів мікроклімату теплиці та дистанційний контроль за її станом.

У загальній частині обґрунтовано актуальність теми, проведено аналітичний огляд існуючих рішень для автоматизації теплиць та визначено, що оптимальним рішенням для малих і середніх теплиць є розробка власної системи на базі сучасного мікроконтролера з вбудованим модулем бездротового зв'язку, яка поєднує доступну вартість, повноцінний дистанційний моніторинг та можливість масштабування.

У другому розділі виконано аналіз технічного завдання, розроблено структурну, функціональну та функціональну схеми пристрою, обґрунтовано вибір елементної бази, проведено розрахунки споживаної потужності та надійності системи, розроблено алгоритм роботи та написано вбудоване програмне забезпечення мікроконтролера. Розроблена система здійснює автоматичне керування поливом трьох зон за показниками вологості ґрунту, провітрюванням за температурою й вологістю повітря та фітоосвітленням за рівнем освітленості, а також передає дані на веб-сервер для дистанційного моніторингу й керування. Розрахунки показали, що ймовірність безвідмовної роботи системи протягом року становить 0,912, а середній наробіток на відмову перевищує 10 років.

У третьому розділі розроблено інструкцію з експлуатації електронного пристрою, методику перевірки функціонування системи у два етапи — попередньої перевірки алгоритмів та перевірки на реальному обладнанні, а також описано порядок технічного обслуговування.

Проведене техніко-економічне обґрунтування показало, що собівартість науково-дослідної роботи становить 69 810,71 грн, а вартість апаратної частини

| | | | | | | |
|-----|------|----------|--------|------|------------------------------|------|
| | | | | | 2026.КВР.123.412.10.00.00 ПЗ | Арк. |
| Зм. | Арк. | № докум. | Підпис | Дата | | 70 |

прототипу — 2 430 грн. За орієнтовного річного економічного ефекту від впровадження у теплиці площею 100 м² близько 101 000 грн/рік термін окупності апаратної частини складає 8,8 дні, що свідчить про економічну доцільність розробки.

Основні питання охорони праці та техніки безпеки під час розробки й експлуатації системи в умовах підвищеної вологості теплиці розглянуто в п'ятому розділі.

Таким чином, поставлене завдання виконано повністю: розроблено мікропроцесорну систему автоматизованого керування розумною теплицею, що відповідає сформульованим технічним вимогам.

| | | | | | | |
|-----|------|----------|--------|------|------------------------------|------|
| | | | | | 2026.КВР.123.412.10.00.00 ПЗ | Арк. |
| Зм. | Арк. | № докум. | Підпис | Дата | | 71 |

ПЕРЕЛІК ПОСИЛАНЬ

1. Електромагнітний клапан 2W-160-15: технічний опис та характеристики.
— URL: <https://co-di.com.ua/ua/p1389573158-latunnyj-elektromagnitnyj-klapan.html> (дата звернення: 17.05.2026).
2. Allegro MicroSystems. A4988 DMOS Microstepping Driver with Translator and Overcurrent Protection Datasheet. — URL: <https://www.allegromicro.com/~media/files/datasheets/a4988-datasheet.pdf> (дата звернення: 15.05.2026).
3. Analog Devices (Maxim Integrated). DS1307 64×8, Serial, I²C Real-Time Clock Datasheet. — URL: <https://www.analog.com/media/en/technical-documentation/data-sheets/ds1307.pdf> (дата звернення: 14.05.2026).
4. Aosong Electronics. DHT22 (AM2302) Digital Temperature and Humidity Sensor Datasheet. — URL: <https://www.sparkfun.com/datasheets/Sensors/Temperature/DHT22.pdf> (дата звернення: 11.05.2026).
5. Arduino Reference: мова програмування та бібліотеки. — URL: <https://www.arduino.cc/reference/en/> (дата звернення: 18.05.2026).
6. ArduinoJson Library Documentation. — URL: <https://arduinojson.org/> (дата звернення: 18.05.2026).
7. Espressif Systems. ESP32 Series Datasheet. — URL: https://www.espressif.com/sites/default/files/documentation/esp32_datasheet_en.pdf (дата звернення: 10.05.2026).
8. Espressif Systems. ESP32-WROOM-32 Datasheet. — URL: https://www.espressif.com/sites/default/files/documentation/esp32-wroom-32_datasheet_en.pdf (дата звернення: 10.05.2026).
9. ROHM Semiconductor. BH1750FVI Digital 16-bit Serial Output Type Ambient Light Sensor IC Datasheet. — URL: <https://www.mouser.com/datasheet/2/348/bh1750fvi-e-186247.pdf> (дата звернення: 12.05.2026).

| | | | | | | |
|-----|------|----------|--------|------|------------------------------|------|
| | | | | | 2026.КВР.123.412.10.00.00 ПЗ | Арк. |
| Зм. | Арк. | № докум. | Підпис | Дата | | 72 |

10. Sharp Corporation. PC817 Series High Density Mounting Type Photocoupler Datasheet. — URL: <https://global.sharp/products/device/lineup/data/pdf/datasheet/PC817XxNSZ1Be.pdf> (дата звернення: 16.05.2026).
11. Songle Relay. SRD-05VDC-SL-C Subminiature Power Relay Datasheet. — URL: <https://www.circuitbasics.com/wp-content/uploads/2015/11/SRD-05VDC-SL-C-Datasheet.pdf> (дата звернення: 16.05.2026).
12. Texas Instruments. LM2596 SIMPLE SWITCHER Power Converter 150-kHz 3-A Step-Down Voltage Regulator Datasheet. — URL: <https://www.ti.com/lit/ds/symlink/lm2596.pdf> (дата звернення: 17.05.2026).

| | | | | | | |
|------------|-------------|-----------------|---------------|-------------|-------------------------------------|-------------|
| | | | | | <i>2026.КВР.123.412.10.00.00 ПЗ</i> | <i>Арк.</i> |
| <i>Зм.</i> | <i>Арк.</i> | <i>№ докум.</i> | <i>Підпис</i> | <i>Дата</i> | | 73 |


```

unsigned long lastSend = 0;
unsigned long lastRead = 0;
const long READ_INTERVAL = 5000;
const long SEND_INTERVAL = 10000;

// ===== ПРОТОТИПИ =====
void connectWiFi();
void readSensors();
void controlServos();
void controlSingleServo(Servo& srv, int valvePin, float soil, bool& state, int zone);
void controlRelays();
void controlStepper();
void updateLEDs();
void updateSingleLED(int pin, float soil);
void updateRing();
void updateDisplay();
void printSerial();
void sendToServer();
void getCommands();
void executeCommand(const char* device, int value);

// =====
//          SETUP
// =====
void setup() {
    Serial.begin(115200);
    Wire.begin(21, 22);

    // GPIO
    pinMode(RELAY_LAMP, OUTPUT);
    pinMode(RELAY_FAN, OUTPUT);
    pinMode(LED1_PIN, OUTPUT);
    pinMode(LED2_PIN, OUTPUT);
    pinMode(LED3_PIN, OUTPUT);
    pinMode(STEP_PIN, OUTPUT);
    pinMode(DIR_PIN, OUTPUT);
    pinMode(STEPPER_EN, OUTPUT);
    digitalWrite(STEPPER_EN, HIGH);

    digitalWrite(RELAY_LAMP, HIGH);
    digitalWrite(RELAY_FAN, HIGH);
    digitalWrite(LED1_PIN, LOW);
    digitalWrite(LED2_PIN, LOW);
    digitalWrite(LED3_PIN, LOW);
}

```

| | | | | | | |
|-----|------|----------|--------|------|-------------------------------------|------|
| | | | | | 2026.KBP.123.412.10.00.00 ПЗ | Арк. |
| Зм. | Арк. | № докум. | Підпис | Дата | | 76 |


```

display.setTextColor(SSD1306_WHITE);
display.setCursor(20, 20);
display.println("Smart Greenhouse");
display.setCursor(30, 40);
display.println("Starting...");
display.display();

// WiFi
connectWiFi();

display.clearDisplay();
display.setCursor(0, 0);
display.println("WiFi:");
display.println(WiFi.status() == WL_CONNECTED ? "CONNECTED" : "OFFLINE");
display.print("IP: ");
display.println(WiFi.localIP().toString());

// Тест: чи є доступ до інтернету?
if (WiFi.status() == WL_CONNECTED) {
    HTTPClient testHttp;
    testHttp.setConnectTimeout(5000);
    testHttp.setTimeout(5000);
    testHttp.begin("http://httpbin.org/get");
    int testCode = testHttp.GET();
    display.print("Net test: ");
    display.println(testCode > 0 ? String(testCode) : testHttp.errorToString(testCode));
    testHttp.end();
}

display.display();
delay(5000);
}

// =====
//                               LOOP
// =====
void loop() {
    unsigned long now = millis();

    // Опитування кожні 5 секунд
    if (now - lastRead >= READ_INTERVAL) {
        lastRead = now;
        readSensors();

        // В автоматичному режимі – датчики керують пристроями

```

| | | | | | | |
|------------|-------------|-----------------|---------------|-------------|-------------------------------------|-------------|
| | | | | | 2026.KBP.123.412.10.00.00 ПЗ | <i>Арк.</i> |
| <i>Зм.</i> | <i>Арк.</i> | <i>№ докум.</i> | <i>Підпис</i> | <i>Дата</i> | | 78 |

```

    if (autoMode) {
        controlServos();
        controlRelays();
    }

    updateLEDs();
    updateRing();
    updateDisplay();
    printSerial();
}

// Крутити степер тільки якщо вентилятор увімкнено
controlStepper();

// Відправка даних + отримання команд кожні 10 секунд
if (now - lastSend >= SEND_INTERVAL) {
    lastSend = now;
    if (WiFi.status() == WL_CONNECTED) {
        sendToServer();
        getCommands();
    } else {
        connectWiFi();
    }
}
}

// =====
//                ЧИТАННЯ ДАТЧИКІВ
// =====
void readSensors() {
    float t = dht.readTemperature();
    float h = dht.readHumidity();
    if (!isnan(t)) temperature = t;
    if (!isnan(h)) humidity = h;

    int raw1 = analogRead(SOIL1_PIN);
    int raw2 = analogRead(SOIL2_PIN);
    int raw3 = analogRead(SOIL3_PIN);
    soil1 = constrain(map(raw1, 4095, 0, 0, 100), 0, 100);
    soil2 = constrain(map(raw2, 4095, 0, 0, 100), 0, 100);
    soil3 = constrain(map(raw3, 4095, 0, 0, 100), 0, 100);

    int rawLDR = analogRead(LDR_PIN);
    lux = constrain(map(rawLDR, 0, 4095, 0, 100), 0, 100);
}

```

| | | | | | | |
|-----|------|----------|--------|------|-------------------------------------|------|
| | | | | | 2026.КВР.123.412.10.00.00 ПЗ | Арк. |
| Зм. | Арк. | № докум. | Підпис | Дата | | 79 |

```

// =====
//      КЕРУВАННЯ КЛАПАНАМИ ПОЛИВУ (АВТО)
//      реле = канал керування клапаном, серво = імітація
// =====
void controlServos() {
    controlSingleServo(servo1, VALVE1_PIN, soil1, servo1State, 1);
    controlSingleServo(servo2, VALVE2_PIN, soil2, servo2State, 2);
    controlSingleServo(servo3, VALVE3_PIN, soil3, servo3State, 3);
}

void controlSingleServo(Servo& srv, int valvePin, float soil, bool& state, int zone) {
    if (soil < SOIL_DRY && !state) {
        digitalWrite(valvePin, HIGH);    // реле увімкнено – клапан відкрито
        srv.write(90);
        state = true;
        Serial.printf("Zone %d: watering ON (%.0f%%)\n", zone, soil);
    } else if (soil > SOIL_WET && state) {
        digitalWrite(valvePin, LOW);    // реле вимкнено – клапан закрито
        srv.write(0);
        state = false;
        Serial.printf("Zone %d: watering OFF (%.0f%%)\n", zone, soil);
    }
}

// =====
//      КЕРУВАННЯ РЕЛЕ (АВТО)
// =====
void controlRelays() {
    if ((temperature > TEMP_MAX || humidity > HUM_MAX) && !fanState) {
        digitalWrite(RELAY_FAN, LOW);
        fanState = true;
        Serial.println("Fan relay: ON");
    } else if (temperature < TEMP_MIN && humidity < HUM_MAX && fanState) {
        digitalWrite(RELAY_FAN, HIGH);
        fanState = false;
        Serial.println("Fan relay: OFF");
    }

    if (lux < LUX_MIN && !lampState) {
        digitalWrite(RELAY_LAMP, LOW);
        lampState = true;
        Serial.println("Lamp: ON");
    } else if (lux > LUX_MAX && lampState) {
        digitalWrite(RELAY_LAMP, HIGH);
    }
}

```

```

    lampState = false;
    Serial.println("Lamp: OFF");
  }
}

// =====
//                КРОКОВИЙ ДВИГУН (ВЕНТИЛЯЦІЯ)
// =====
void controlStepper() {
  if (fanState) {
    digitalWrite(STEPPER_EN, LOW);
    stepper.setSpeed(600);
    stepper.runSpeed();
  } else {
    digitalWrite(STEPPER_EN, HIGH);
    stepper.setSpeed(0);
    stepper.stop();
  }
}

// =====
//                ІНДИКАЦІЯ LED
// =====
void updateLEDs() {
  updateSingleLED(LED1_PIN, soil1);
  updateSingleLED(LED2_PIN, soil2);
  updateSingleLED(LED3_PIN, soil3);
}

void updateSingleLED(int pin, float soil) {
  if (soil < SOIL_CRIT) {
    digitalWrite(pin, (millis() / 300) % 2);
  } else if (soil < SOIL_DRY) {
    digitalWrite(pin, HIGH);
  } else {
    digitalWrite(pin, LOW);
  }
}

// =====
//                NEOPIXEL RING
// =====
void updateRing() {
  ring.clear();
  if (lampState) {

```

```

    for (int i = 0; i < RING_PIXELS; i++) {
        if (i % 2 == 0) ring.setPixelColor(i, ring.Color(255, 0, 0));
        else
            ring.setPixelColor(i, ring.Color(0, 0, 255));
    }
} else if (fanState) {
    for (int i = 0; i < RING_PIXELS; i++) {
        ring.setPixelColor(i, ring.Color(0, 100, 255));
    }
}
ring.show();
}

// =====
//                               OLED ДИСПЛЕЙ
// =====

void updateDisplay() {
    DateTime now = rtc.now();

    display.clearDisplay();
    display.setTextSize(1);
    display.setTextColor(SSD1306_WHITE);

    display.setCursor(0, 0);
    display.printf("%02d:%02d %s",
        now.hour(), now.minute(),
        autoMode ? "AUTO" : "MANUAL"
    );

    display.setCursor(0, 16);
    display.printf("T:%.1fC H:%.0f%%", temperature, humidity);

    display.setCursor(0, 32);
    display.printf("G1:%d%% G2:%d%% G3:%d%%",
        (int)soil1, (int)soil2, (int)soil3
    );

    display.setCursor(0, 48);
    display.print(httpStatus);

    display.display();
}

// =====
//                               SERIAL МОНИТОР
// =====

```

| | | | | | | |
|-----|------|----------|--------|------|-------------------------------------|------|
| | | | | | 2026.KBP.123.412.10.00.00 ПЗ | Арк. |
| Зм. | Арк. | № докум. | Підпис | Дата | | 82 |

```

void printSerial() {
    Serial.println("=====");
    Serial.printf("Mode: %s\n", autoMode ? "AUTO" : "MANUAL");
    Serial.printf("Temperature: %.1f C\n", temperature);
    Serial.printf("Humidity: %.0f %%\n", humidity);
    Serial.printf("Light: %.0f %%\n", lux);
    Serial.printf("Soil zone 1: %.0f %%\n", soil1);
    Serial.printf("Soil zone 2: %.0f %%\n", soil2);
    Serial.printf("Soil zone 3: %.0f %%\n", soil3);
    Serial.printf("Fan: %s\n", fanState ? "ON" : "OFF");
    Serial.printf("Lamp: %s\n", lampState ? "ON" : "OFF");
    Serial.printf("Valve zone 1: %s\n", servo1State ? "OPEN" : "CLOSED");
    Serial.printf("Valve zone 2: %s\n", servo2State ? "OPEN" : "CLOSED");
    Serial.printf("Valve zone 3: %s\n", servo3State ? "OPEN" : "CLOSED");
    Serial.println("=====");
}

// =====
//          ВІДПРАВКА ДАНИХ НА СЕРВЕР
// =====
// Допоміжна функція для HTTP/HTTPS з'єднання
WiFiClientSecure secureClient;
bool httpBeginAuto(HTTPClient& http, const String& url) {
    if (url.startsWith("https")) {
        secureClient.setInsecure();
        return http.begin(secureClient, url);
    } else {
        return http.begin(url);
    }
}

void sendToServer() {
    HTTPClient http;
    http.setFollowRedirects(HTTPC_FORCE_FOLLOW_REDIRECTS);
    http.setConnectTimeout(10000);
    http.setTimeout(10000);

    String url = String(SERVER_URL) + "?action=sensor_data&device_id=" + DEVICE_ID;
    httpBeginAuto(http, url);
    http.addHeader("Content-Type", "application/x-www-form-urlencoded");
    http.addHeader("X-API-Key", API_KEY);
    http.addHeader("User-Agent", "ESP32");

    String body = "temperature=" + String(temperature, 1)
        + "&humidity=" + String(humidity, 0)

```

```

        + "&lux="          + String(lux, 0)
        + "&soil1="       + String(soil1, 0)
        + "&soil2="       + String(soil2, 0)
        + "&soil3="       + String(soil3, 0)
        + "&fan="         + String(fanState ? 1 : 0)
        + "&lamp="        + String(lampState ? 1 : 0)
        + "&servo1="      + String(servo1State ? 1 : 0)
        + "&servo2="      + String(servo2State ? 1 : 0)
        + "&servo3="      + String(servo3State ? 1 : 0);

    httpStatus = "Sending...";

    int code = http.POST(body);
    if (code == 200) {
        String response = http.getString();
        httpStatus = "200:" + response.substring(0, 60);
    } else if (code > 0) {
        String response = http.getString();
        httpStatus = "ERR " + String(code) + ":" + response.substring(0, 40);
    } else {
        httpStatus = "FAIL:" + String(http.errorToString(code).c_str());
    }
    http.end();
}

// =====
//      ОТРИМАННЯ КОМАНД З СЕРВЕРА (ДОДАТОК → ESP32)
// =====

void getCommands() {
    HTTPClient http;
    http.setFollowRedirects(HTTPC_FORCE_FOLLOW_REDIRECTS);
    http.setConnectTimeout(10000);
    http.setTimeout(10000);

    String url = String(SERVER_URL) + "?action=get_commands&device_id=" + DEVICE_ID;
    httpBeginAuto(http, url);
    http.addHeader("X-API-Key", API_KEY);
    http.addHeader("User-Agent", "ESP32");

    int code = http.GET();
    if (code != 200) {
        String errBody = http.getString();
        Serial.printf("[HTTP] Commands error %d: %s\n", code, errBody.c_str());
        http.end();
        return;
    }
}

```

```

}

String payload = http.getString();
http.end();
Serial.printf("[HTTP] Commands: %s\n", payload.c_str());

// Парсинг JSON відповіді
JsonObject doc;
DeserializationError err = deserializeJson(doc, payload);
if (err) {
    Serial.printf("JSON error: %s\n", err.c_str());
    return;
}

// Оновити режим
const char* mode = doc["mode"] | "auto";
bool newAutoMode = (strcmp(mode, "auto") == 0);
if (newAutoMode != autoMode) {
    autoMode = newAutoMode;
    Serial.printf("Mode changed to: %s\n", autoMode ? "AUTO" : "MANUAL");
}

// Оновити пороги з сервера
JsonObject settings = doc["settings"];
if (settings) {
    if (settings["temp_max"]) TEMP_MAX = settings["temp_max"].as<float>();
    if (settings["temp_min"]) TEMP_MIN = settings["temp_min"].as<float>();
    if (settings["hum_max"]) HUM_MAX = settings["hum_max"].as<float>();
    if (settings["soil_dry"]) SOIL_DRY = settings["soil_dry"].as<float>();
    if (settings["soil_wet"]) SOIL_WET = settings["soil_wet"].as<float>();
    if (settings["soil_crit"]) SOIL_CRIT = settings["soil_crit"].as<float>();
    if (settings["lux_min"]) LUX_MIN = settings["lux_min"].as<float>();
    if (settings["lux_max"]) LUX_MAX = settings["lux_max"].as<float>();
    Serial.printf("Thresholds updated: T=%.1f-%.1f H<%.1f S=%g-%g L=%g-%g\n",
        TEMP_MIN, TEMP_MAX, HUM_MAX, SOIL_DRY, SOIL_WET, LUX_MIN, LUX_MAX);
}

// Виконати команди (тільки в ручному режимі)
JsonArray commands = doc["commands"].as<JsonArray>();
for (JsonObject cmd : commands) {
    const char* device = cmd["device"] | "";
    int value = cmd["value"] | 0;
    Serial.printf("Command: %s = %d\n", device, value);

    if (!autoMode) {

```

```

        executeCommand(device, value);
    } else {
        Serial.println(" (ignored – auto mode)");
    }
}

// =====
//                ВИКОНАННЯ КОМАНДИ
// =====
void executeCommand(const char* device, int value) {
    if (strcmp(device, "fan") == 0) {
        fanState = (value == 1);
        digitalWrite(RELAY_FAN, fanState ? LOW : HIGH);
        Serial.printf("Fan manually set: %s\n", fanState ? "ON" : "OFF");

    } else if (strcmp(device, "lamp") == 0) {
        lampState = (value == 1);
        digitalWrite(RELAY_LAMP, lampState ? LOW : HIGH);
        Serial.printf("Lamp manually set: %s\n", lampState ? "ON" : "OFF");

    } else if (strcmp(device, "servo1") == 0) {
        servo1State = (value == 1);
        digitalWrite(VALVE1_PIN, servo1State ? HIGH : LOW);
        servo1.write(servo1State ? 90 : 0);
        Serial.printf("Valve 1 manually set: %s\n", servo1State ? "OPEN" : "CLOSED");

    } else if (strcmp(device, "servo2") == 0) {
        servo2State = (value == 1);
        digitalWrite(VALVE2_PIN, servo2State ? HIGH : LOW);
        servo2.write(servo2State ? 90 : 0);
        Serial.printf("Valve 2 manually set: %s\n", servo2State ? "OPEN" : "CLOSED");

    } else if (strcmp(device, "servo3") == 0) {
        servo3State = (value == 1);
        digitalWrite(VALVE3_PIN, servo3State ? HIGH : LOW);
        servo3.write(servo3State ? 90 : 0);
        Serial.printf("Valve 3 manually set: %s\n", servo3State ? "OPEN" : "CLOSED");
    }
}

// =====
//                ПІДКЛЮЧЕННЯ WiFi
// =====
void connectWiFi() {

```

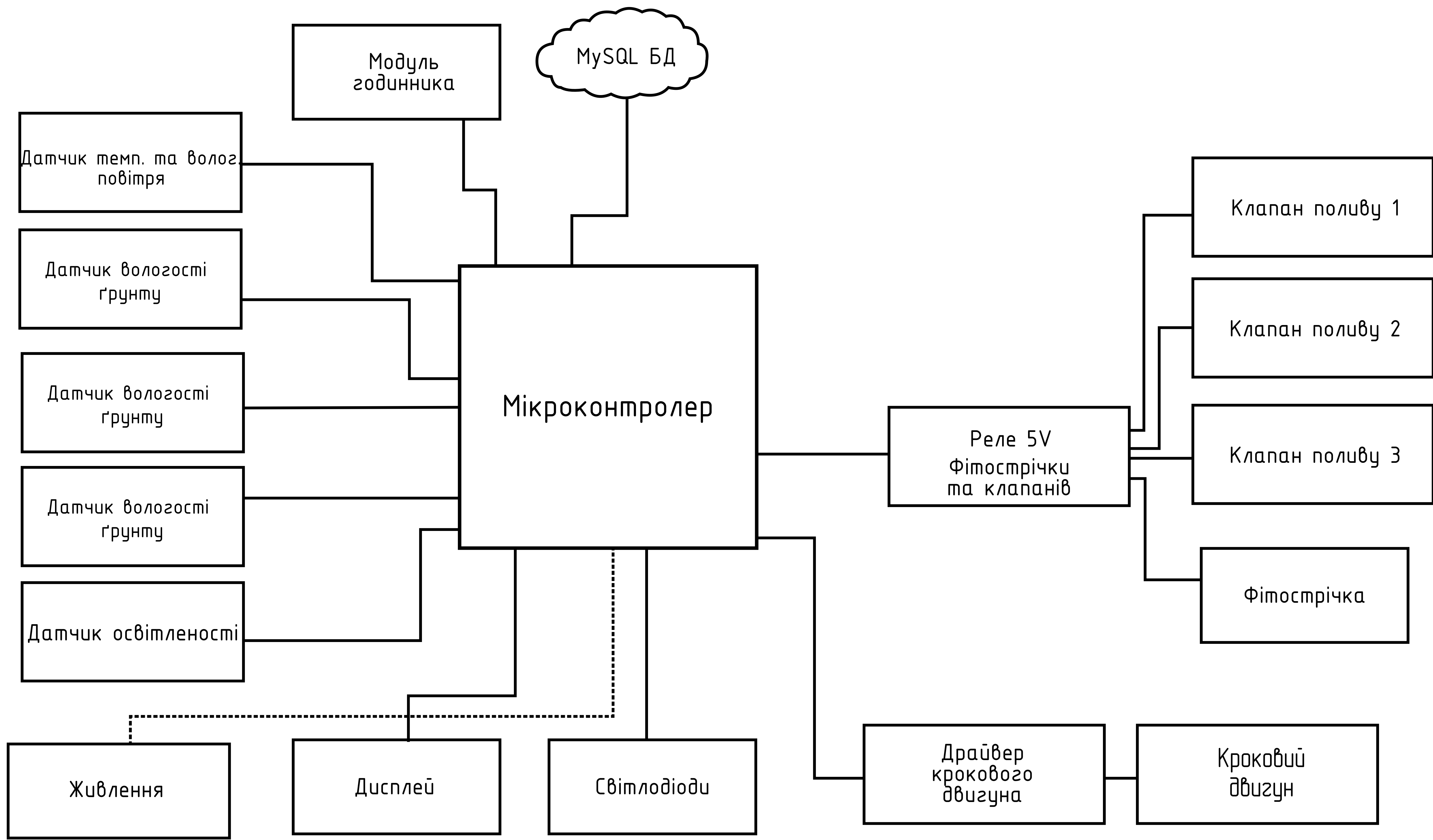
```

Serial.printf("Connecting to %s", WIFI_SSID);
WiFi.begin(WIFI_SSID, WIFI_PASS);

int attempts = 0;
while (WiFi.status() != WL_CONNECTED && attempts < 20) {
    delay(500);
    Serial.print(".");
    attempts++;
}
if (WiFi.status() == WL_CONNECTED) {
    Serial.printf("\nConnected! IP: %s\n",
        WiFi.localIP().toString().c_str());
} else {
    Serial.println("\nWiFi connection failed");
}
}

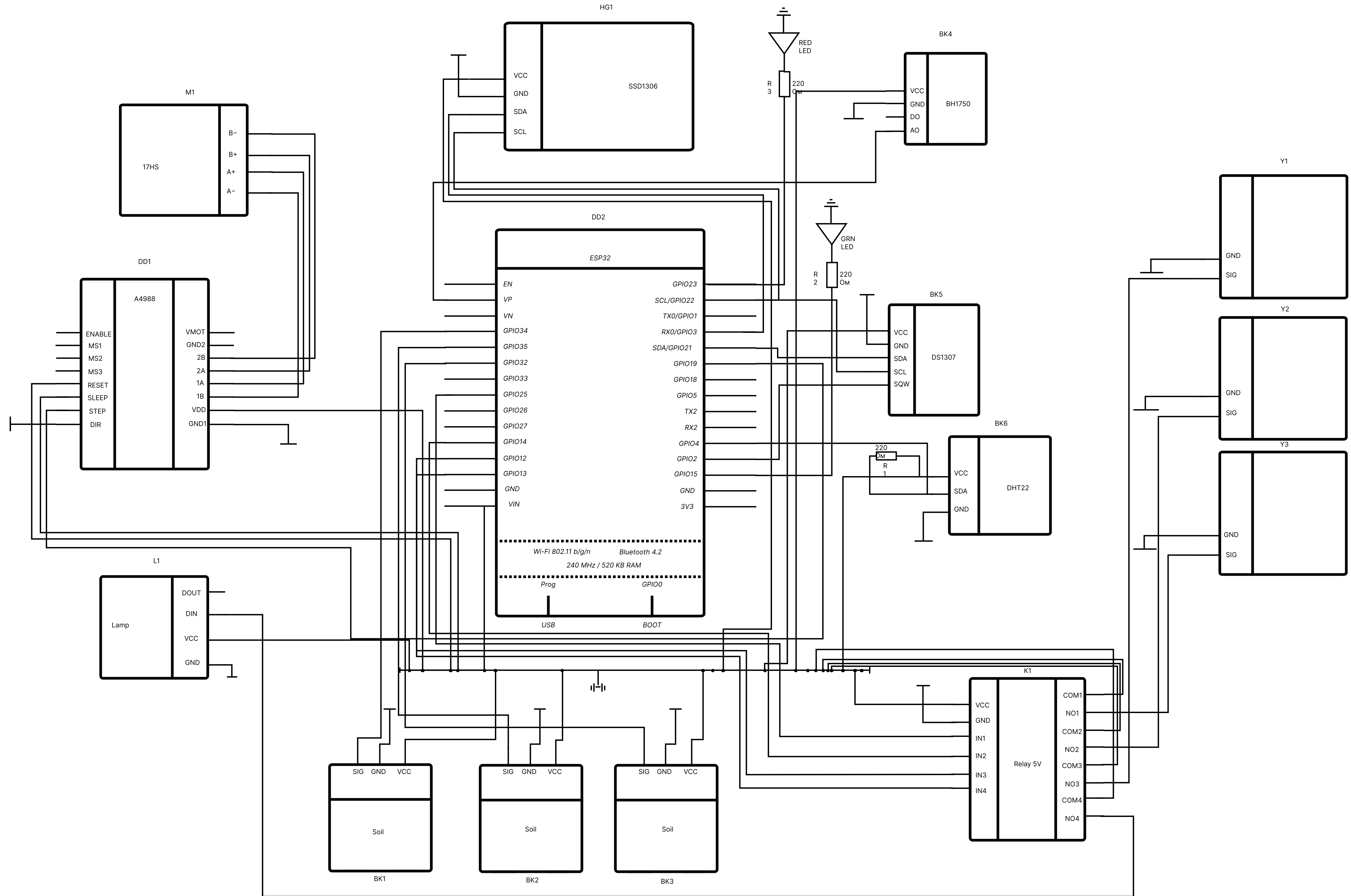
```

| | | | | | | |
|------------|-------------|-----------------|---------------|-------------|-------------------------------------|-------------|
| | | | | | 2026.KBP.123.412.10.00.00 ПЗ | <i>Арк.</i> |
| <i>Зм.</i> | <i>Арк.</i> | <i>№ докум.</i> | <i>Підпис</i> | <i>Дата</i> | | 87 |



— З'єднання - - - - - Живлення

| | | | | | | | | |
|-----|------|-------------|--------|------------------------------|--|----------------------------------|-------|---------|
| | | | | 2026.KBP.123.412.10.00.00 CC | | | | |
| Зм. | Док. | № документа | Підпис | Дата | Розробка мікроконтролерної системи автоматизованого керування мікрокліматом розумної теплиці | Літ. | Месяц | Масштаб |
| | | Б.РЕНЧКА | | | Структурна схема | | | |
| | | А.НЕДОШИТКО | | | | Архив | Архив | |
| | | Т. констр. | | | | | | |
| | | Реценз. | | | | | | |
| | | Н. констр. | | | | | | |
| | | А.ЮЗЬКІВ | | | | | | |
| | | Затверд. | | | | | | |
| | | | | | | ВСП ТФК ТНТУ КІ-412 м. Тернопіль | | |

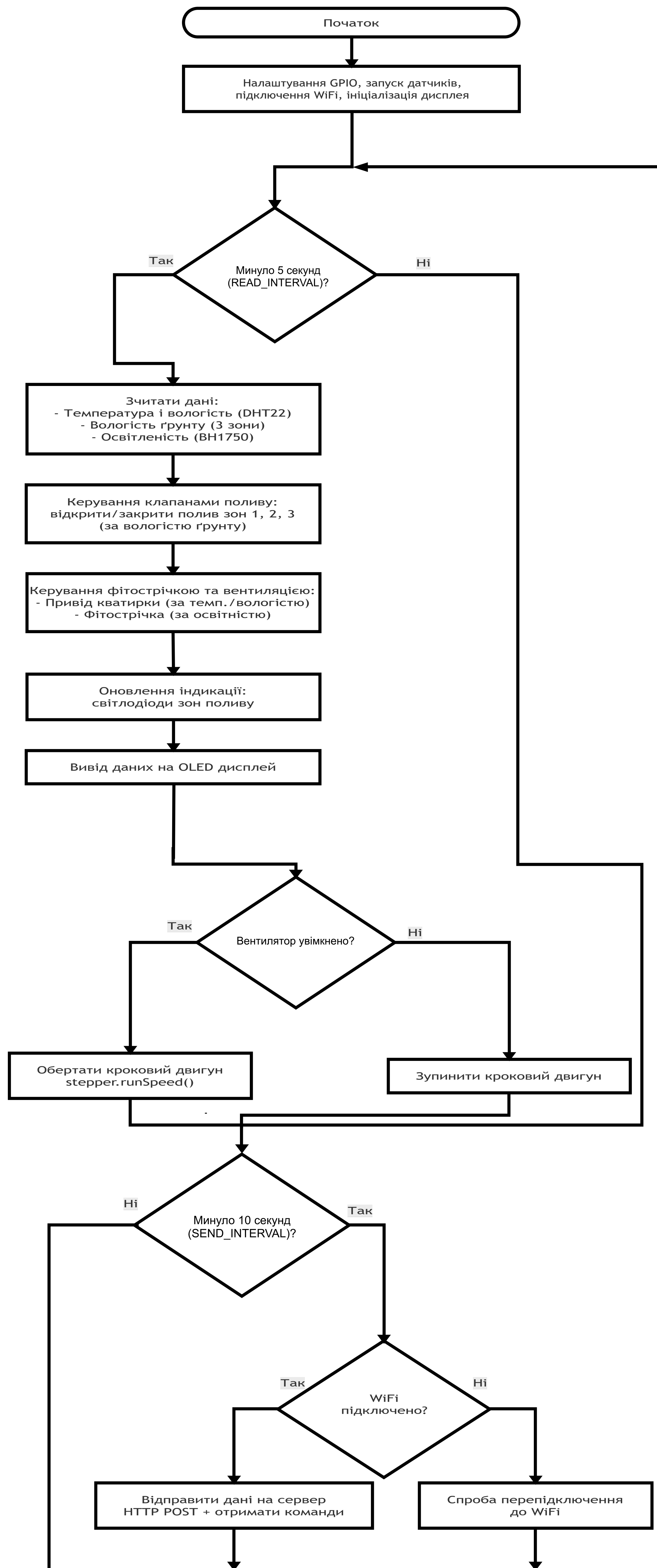


| | | | | | | | | | |
|------------------------------|-------------|-------------|--------|--|----------------------------------|-------|------|-------|---------|
| 2026.KBP.123.412.10.00.00 E3 | | | | Розробка мікроконтролерної системи автоматизованого керування мікрокліматом розумної теплиці | | | Літ. | Місяц | Масштаб |
| Зм. | Арх. | № документа | Підпис | Дата | Схема Електрична функціональна | | | | |
| Розробив | Б.РЕНЧКА | | | | Архив | Архив | | | |
| Перевір. | А.НЕДОШИТКО | | | | | | | | |
| Т. контр. | | | | | | | | | |
| Реценз. | | | | | | | | | |
| Н. контр. | А.ЮЗЬКІВ | | | | ВСП ТФК ТНТУ КІ-412 м. Тернопіль | | | | |
| Затверд. | | | | | | | | | |

Таблиця техніко-економічних показників

| Технічні показник | | | Економічні показники | | | |
|-------------------|----------------------------|--------------------------------------|----------------------|--------------------------|---------------------|----------|
| № п/п | Показник | Значення | № п/п | Показник | Одиниці вимірювання | Значення |
| 1 | Мікроконтролерна платформа | ESP32 DevKit V1 | 1 | Собівартість | грн | 29 438,3 |
| 2 | Тип радіоканалу | Wi-Fi (802.11 b/g/n) | 2 | Плановий прибуток | грн | 16 485,4 |
| 3 | Контрольовані параметри | температура, вологість, освітленість | 3 | Ціна | грн | 45 923,7 |
| 4 | Інтерфейси | 1-Wire, I ² C, АЦП | 4 | Чиста теперішня вартість | грн | 11 558,4 |
| 5 | Напруга живлення | 5 В; 3,3 В | 5 | Термін окупності | рік | 2,2 |

| | | | | | | |
|-----------|------|-------------|--------|------------------------------|--|---------|
| | | | | 2026.KBP.123.412.10.00.00 ТБ | | |
| Зм. | Док. | № документа | Підпис | Дата | Розробка мікроконтролерної системи автоматизованого керування мікрокліматом розумної теплиці | |
| Розробив | | Б.РЕНЧКА | | | Літ. | Маса |
| Перевірив | | А.НЕДОШИТКО | | | Масштаб | |
| Т. контр. | | | | | Аркуш | Аркушів |
| Реценз. | | | | | ВСП ТФК ТНТУ КІ-412 | |
| Н. контр. | | А.ЮЗЬКІВ | | | м. Тернопіль | |
| Затверд. | | | | | | |



| 2026.KBP.123.412.10.00.00 БС | | | | | | Літ. | Маса | Масштаб |
|------------------------------|------|-------------|--------|------|--|------|------|---------|
| Зм. | Арк. | № документа | Підпис | Дата | | | | |
| Розробив | | Б.РЕНЧКА | | | | | | |
| Перевір. | | А.НЕДОШИТКО | | | | | | |
| Т. контр. | | | | | | | | |
| Реценз. | | | | | | | | |
| Н. контр. | | А.ЮЗЬКІВ | | | | | | |
| Затверд. | | | | | | | | |

Розробка мікроконтролерної системи автоматизованого керування мікрокліматом розумної теплиці блок схема

Аркуш Аркушів

ВСП ТФК ТНТУ КІ-412 м. Тернопіль